

Nagyfelbontású mikroszkópos módszerek

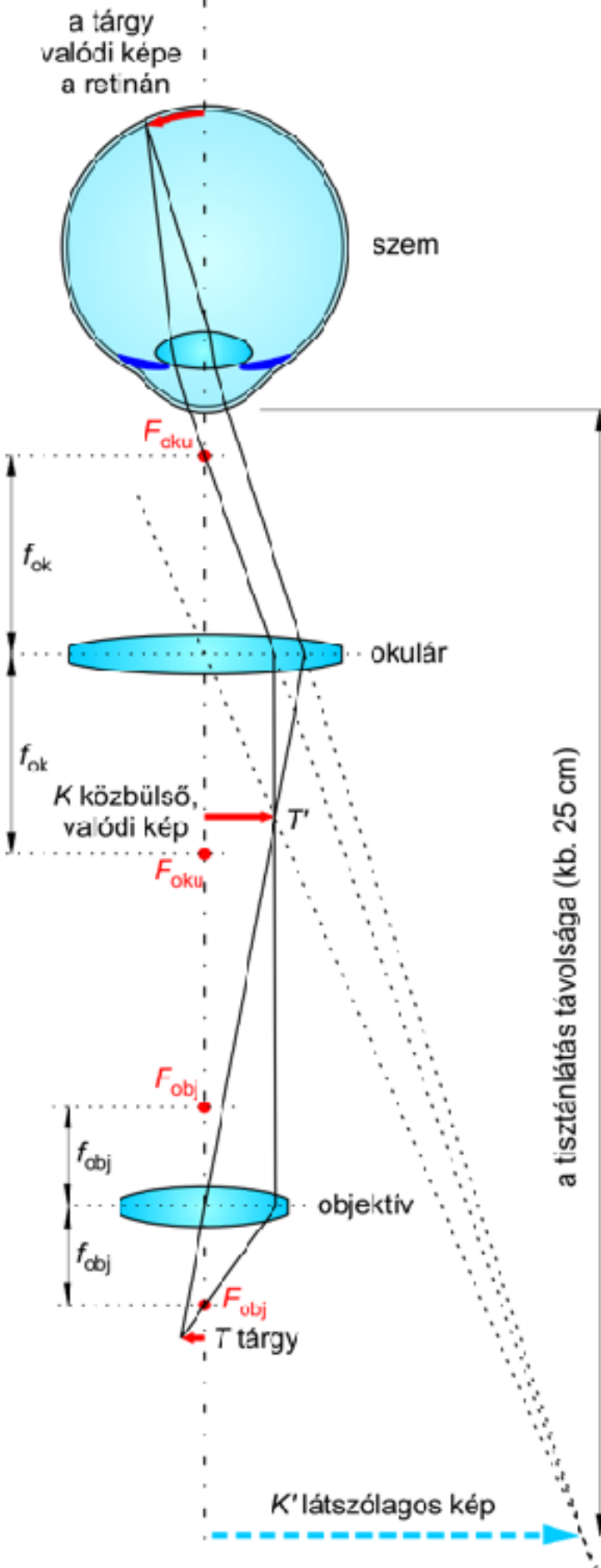
Egymolekula biofizika

Kellermayer Miklós

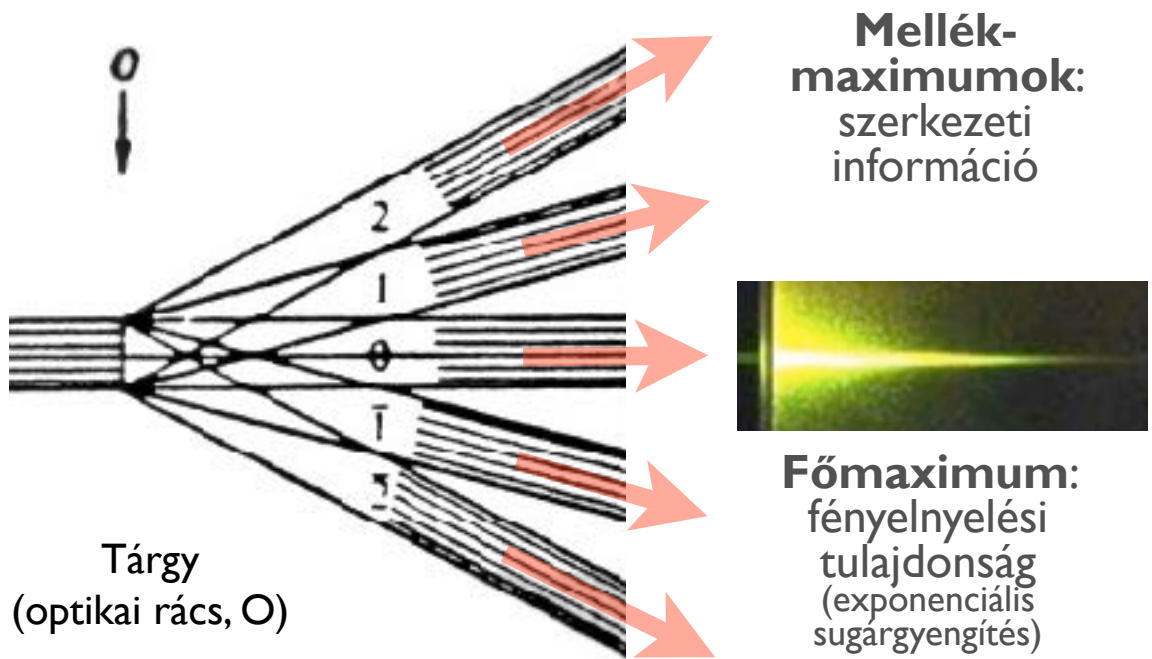
Semmelweis Egyetem
Biofizikai és Sugárbiológiai Intézet

Képalkotás az összetett fény-mikroszkópból

- Nagyított, fordított állású virtuális kép
- Leképezés feltétele: egy járulékos lencse (szemlencse) optikai útba helyezése



A fénymikroszkóp feloldóképességét a hullámtulajdonság korlátozza

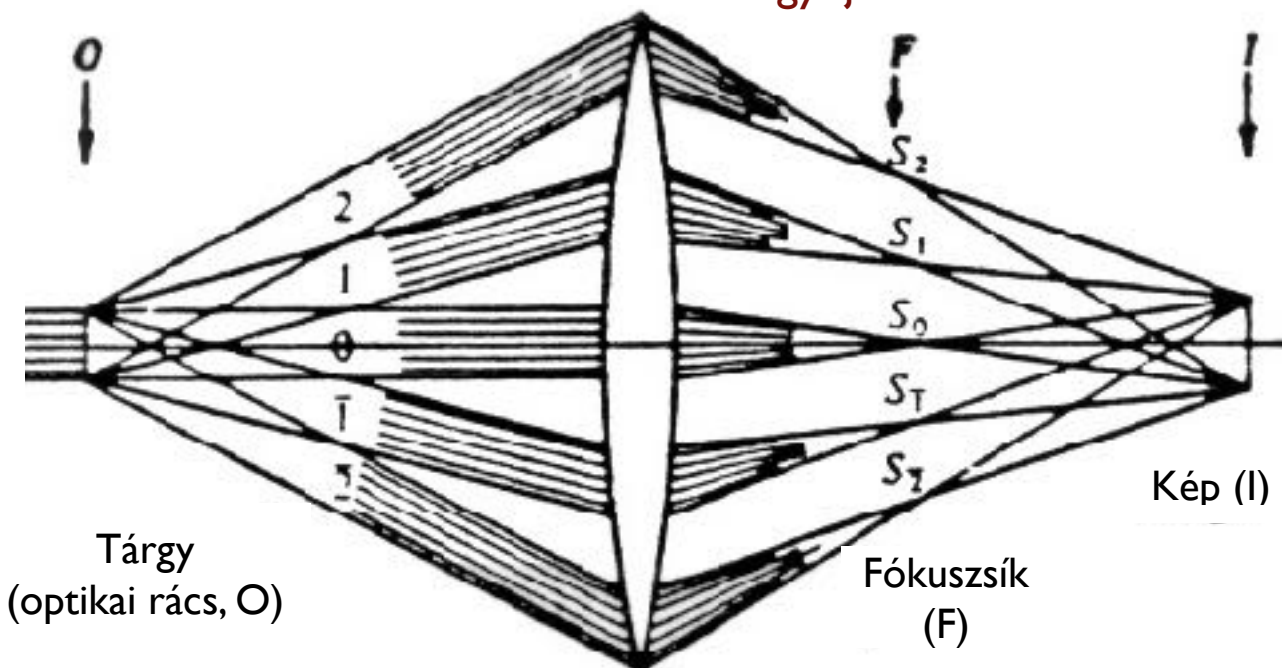


Tárgy
(optikai rács, O)

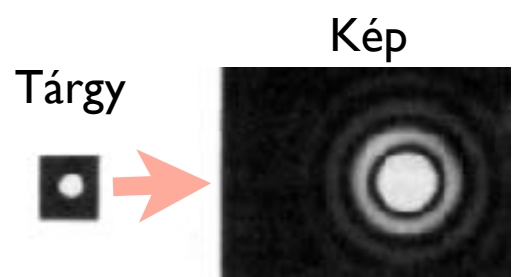
Mellék-
maximumok:
szerkezeti
információ

Főmaximum:
fényelnyelési
tulajdonság
(exponenciális
sugargyengítés)

Diffrakciólimitált képalkotás: feltétele legalább az első
mellékmaximum összegyűjtése

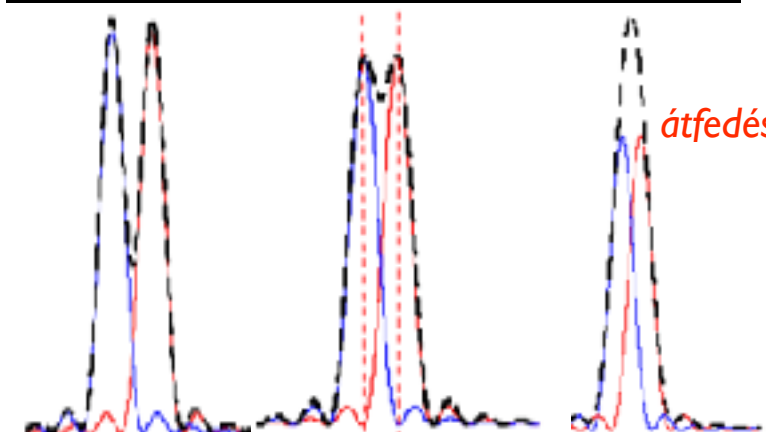
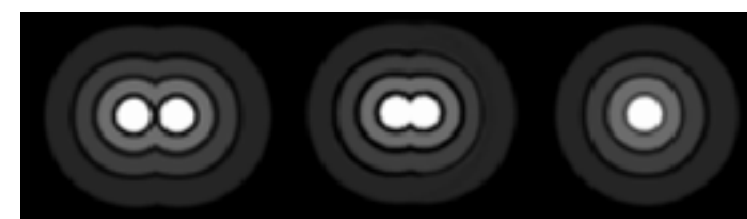


Tárgy
(optikai rács, O)



Diffrakció miatt: pontszerű
tárgy képe elhajlási korong
(Airy disk)

Rayleigh feltétel

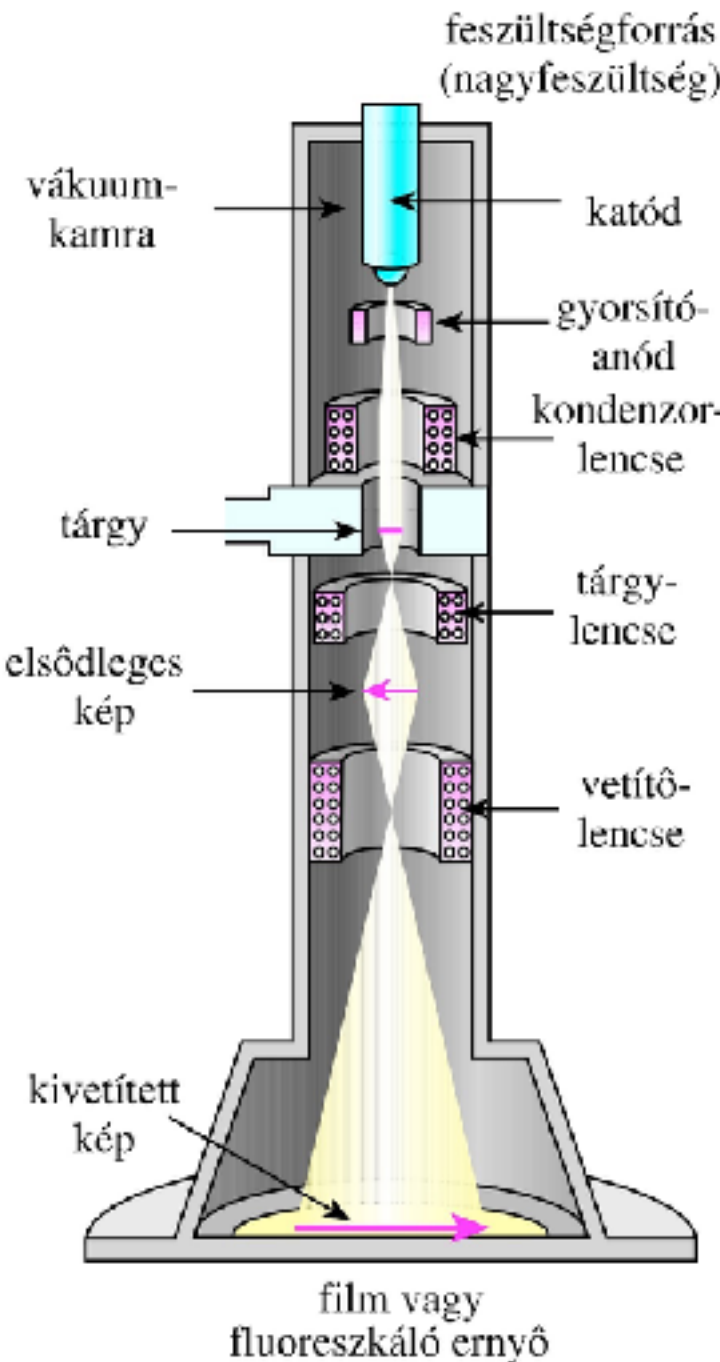


Legkisebb feloldott
távolság (Abbé-képlet):

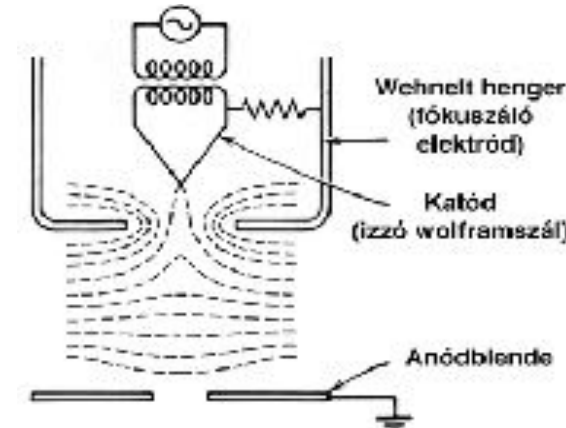
$$d = \frac{0.61\lambda}{n \sin \alpha}$$

λ = hullámhossz
 n = közeg törésmutatója
 α = optikai tengely és legszélső
nyaláb által bezárt szög

Elektronmikroszkóp



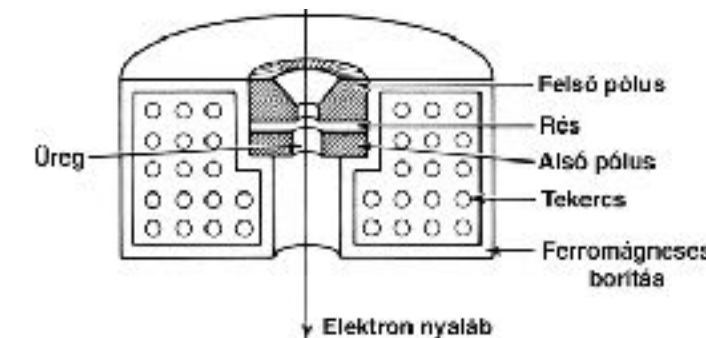
Sugárforrás:
elektronágú



Ernst Ruska
(Nobel-díj 1986)

Fókuszálás:
elektronnyaláb
kitérítése
mágneslencsével

$$F = eBV_e \sin \alpha$$



F =elektronra ható erő; e =elektron töltése; B =mágneses térerő; V_e =elektron sebessége; α =optikai tengely és a mágneses tér irányával bezárt szög

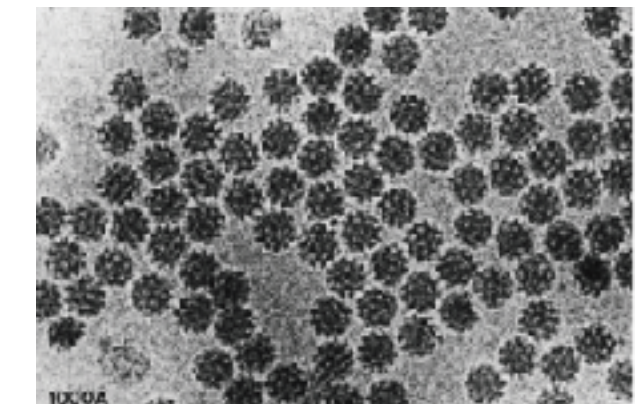
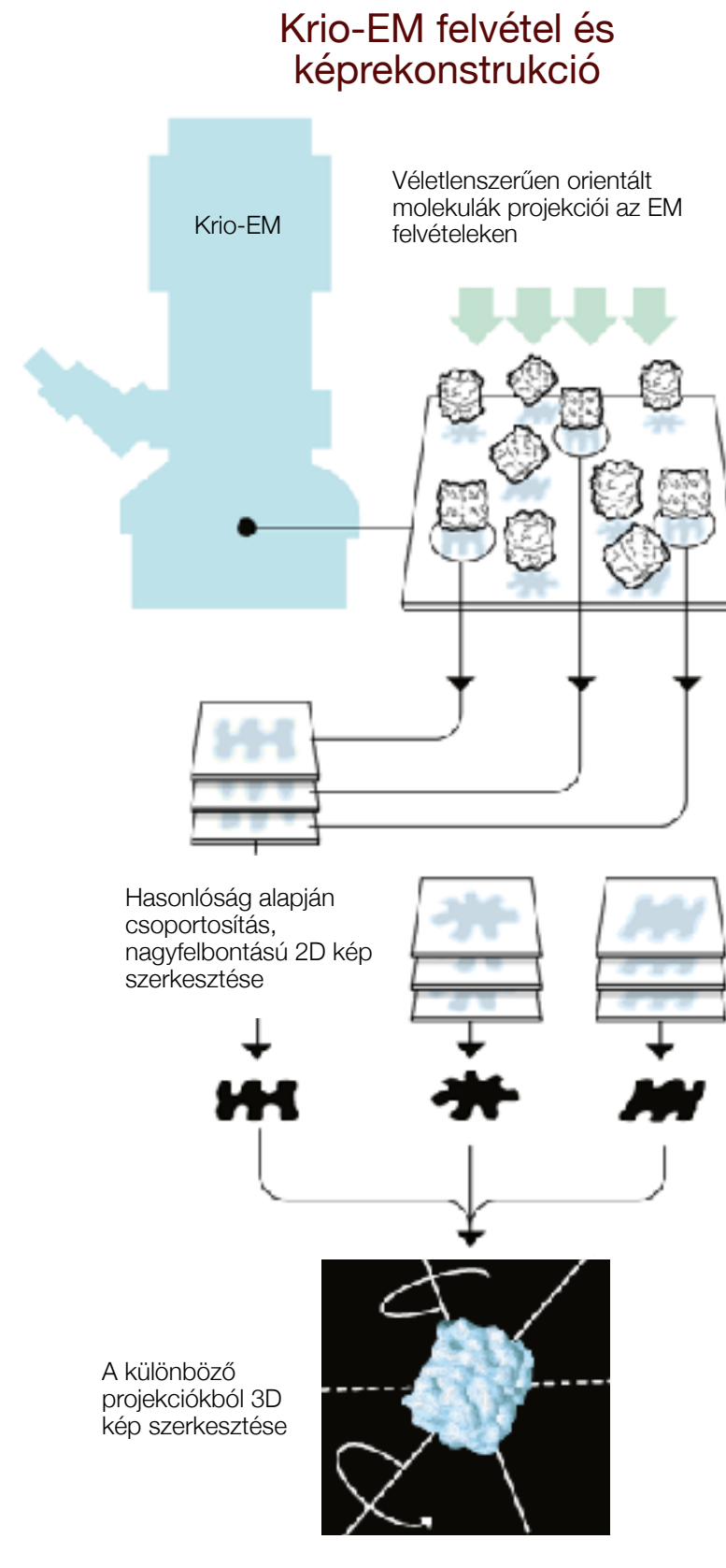
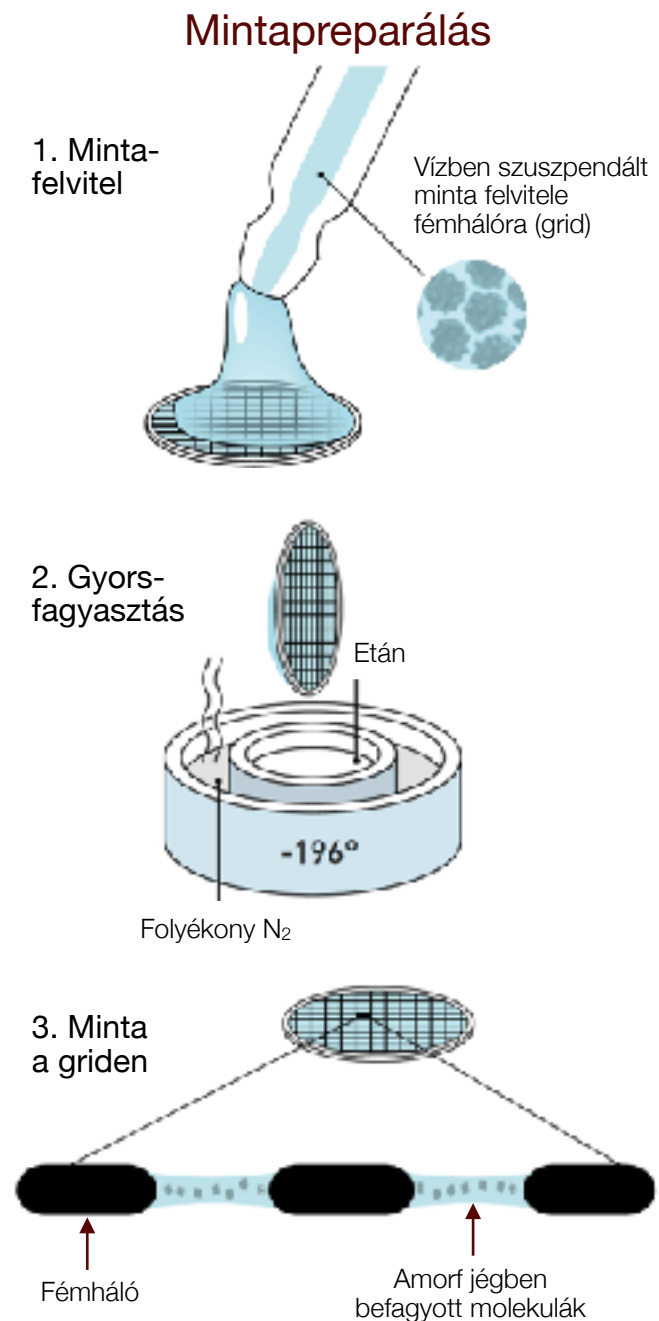
Feloldóképesség: $d = \frac{\lambda}{\alpha}$

d =legkisebb feloldott távolság
 λ ="de Broglie" hullámhossz
 α =optikai tengely és a mágneses tér irányával bezárt szög

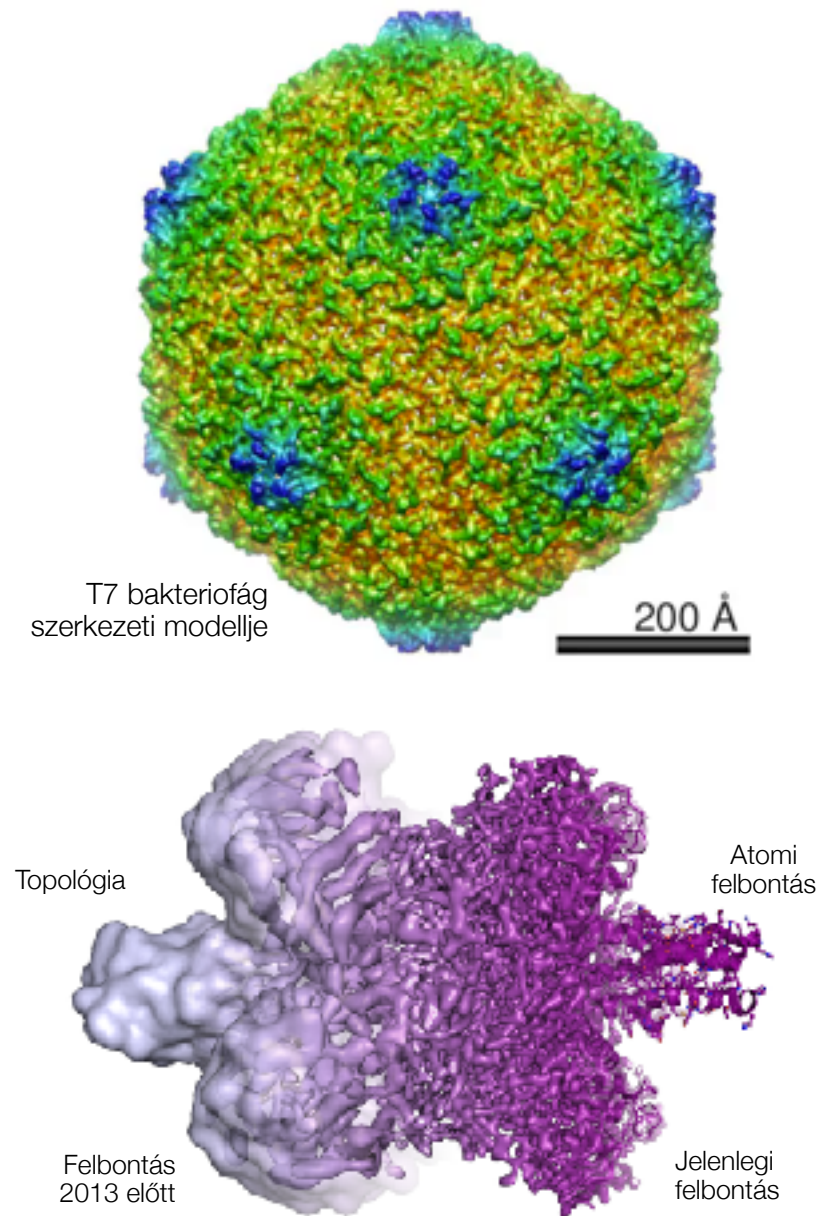
Kémiai Nobel-díj 2017: Krioelektron mikroszkópia



Jacques Dubochet, Joachim Frank, Richard Henderson



Első krioelektron mikroszkópos felvétel vírusokról (Dubochet, 1984)



Szuperfelbontású mikroszkópia

Kémiai Nobel-díj, 2014



Eric
Betzig

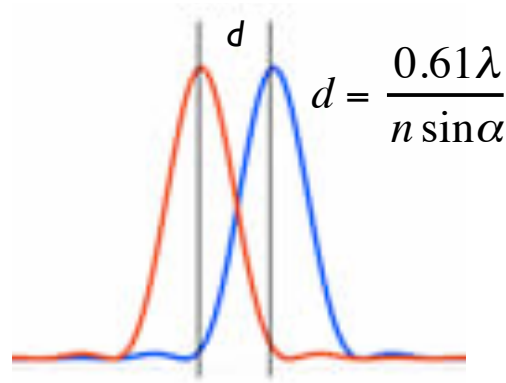


Stefan
Hell

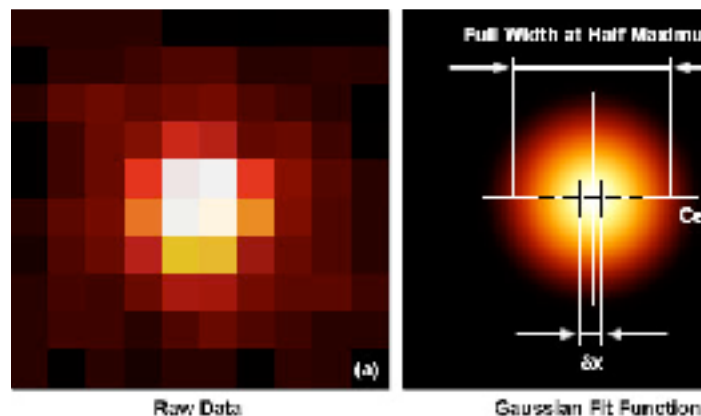


William E.
Moerner

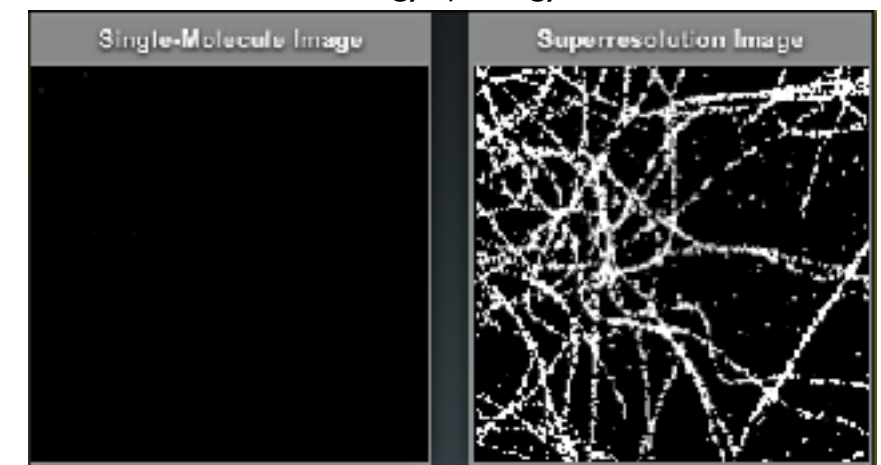
Feloldási probléma
(Abbé-elv)



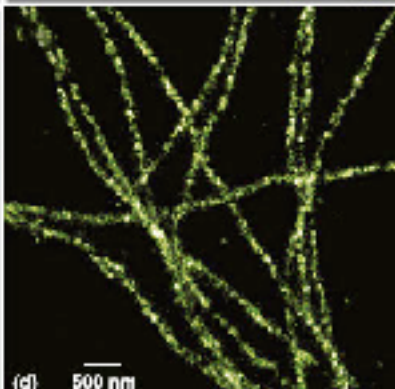
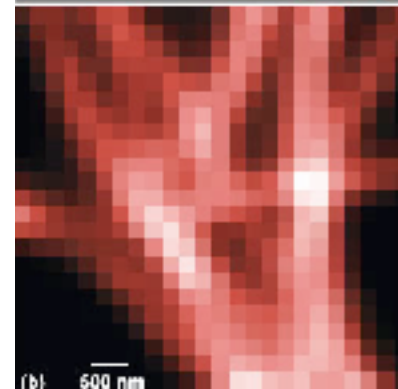
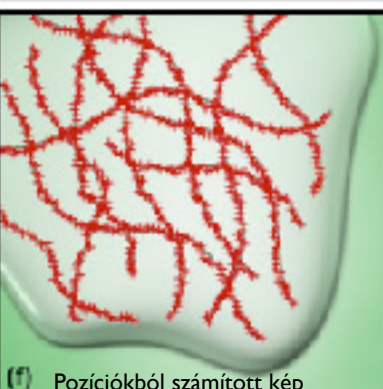
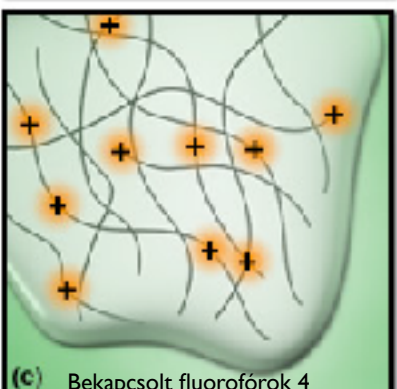
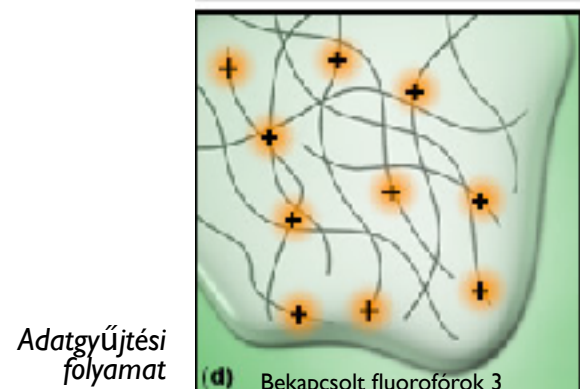
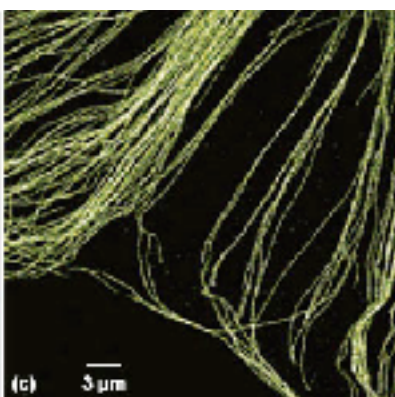
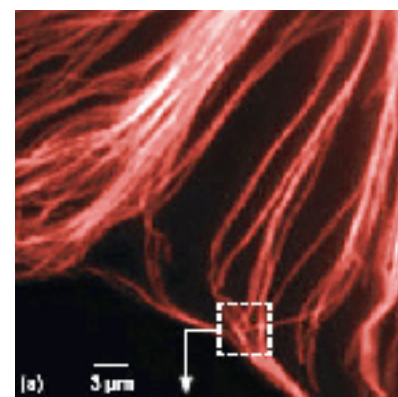
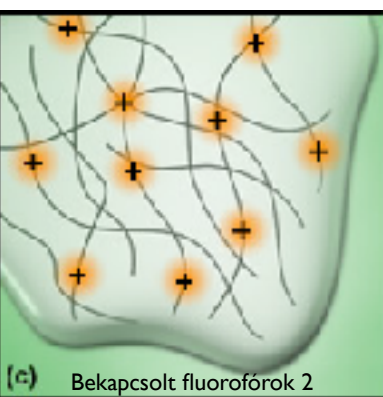
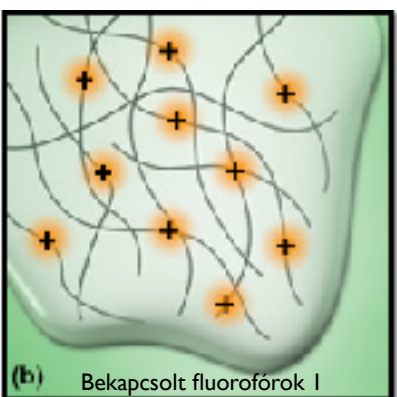
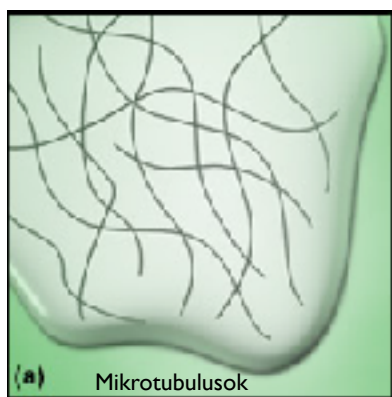
Pozíciómeghatározási probléma
(Pontosság a fotonszámtól függ)



“Sztochasztikus” adatgyűjtés egyedi fluorofórokrol



STORM (“stochastic optical reconstruction microscopy”); PALM (“photoactivated localization microscopy”)

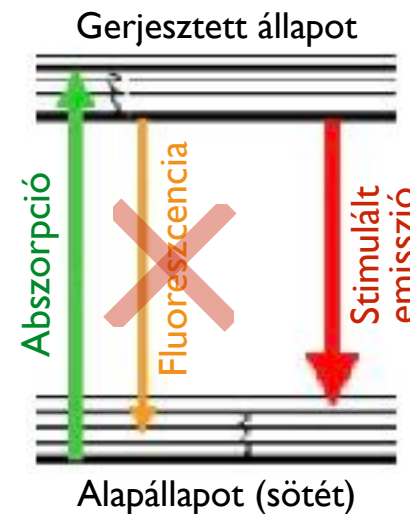


Mikrotubuláris rendszer

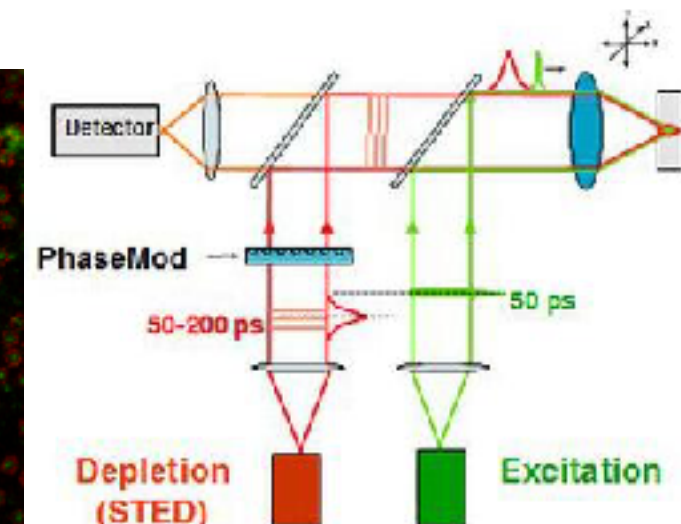
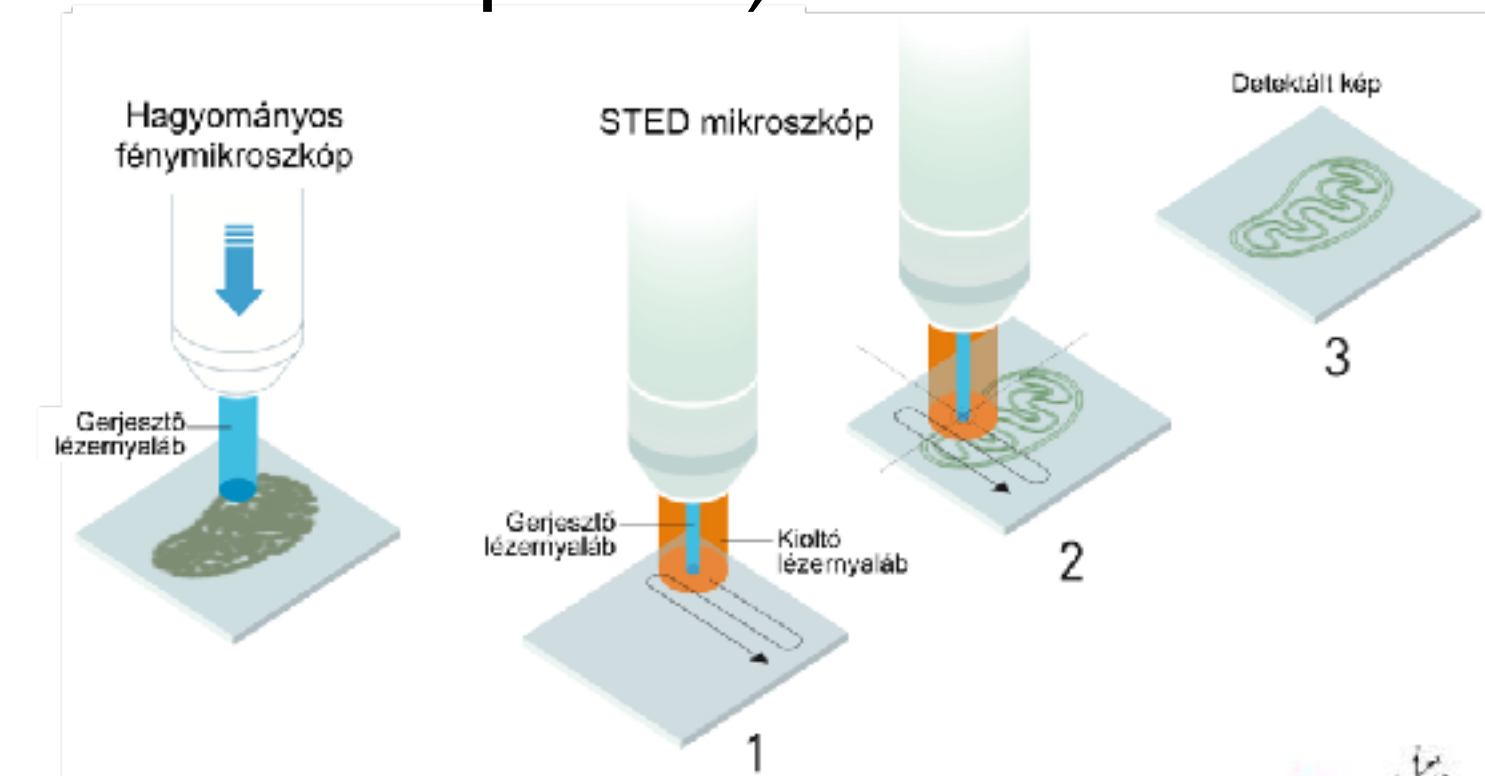
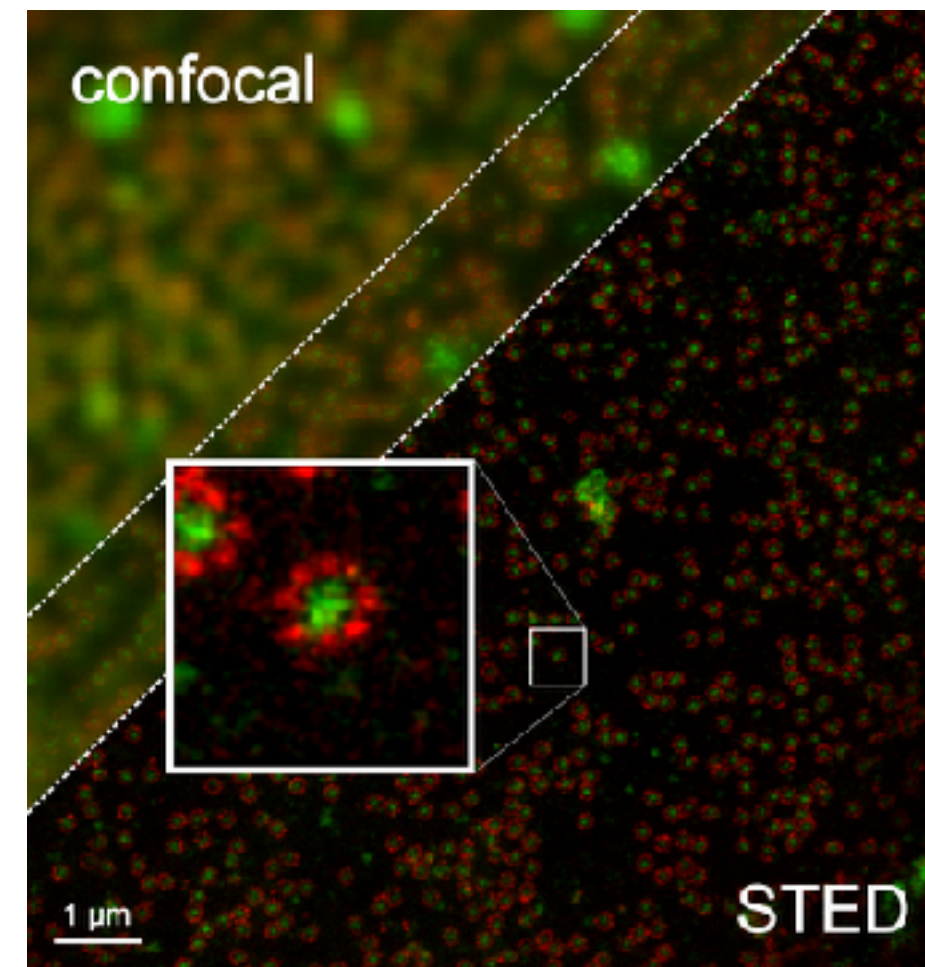
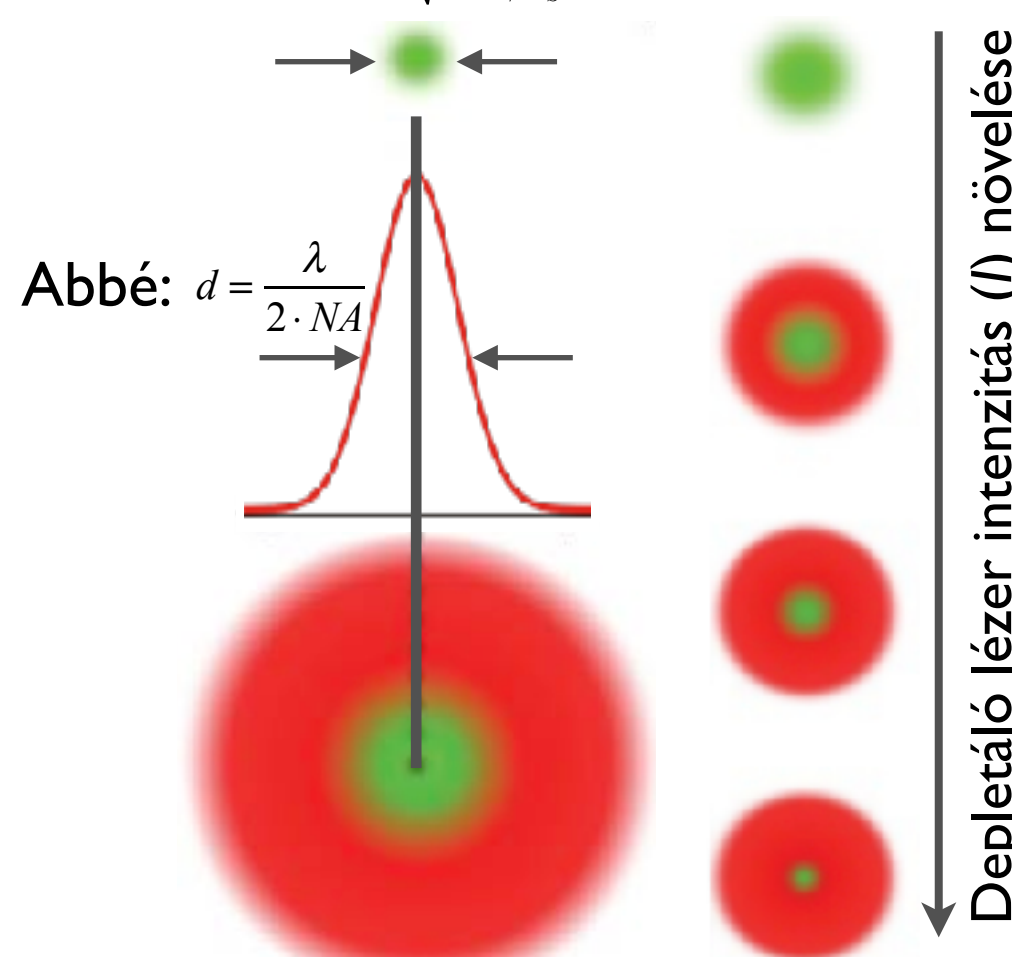
STED mikroszkópia (STimulated Emission Depletion)



Stefan Hell
(Nobel-díj 2014)

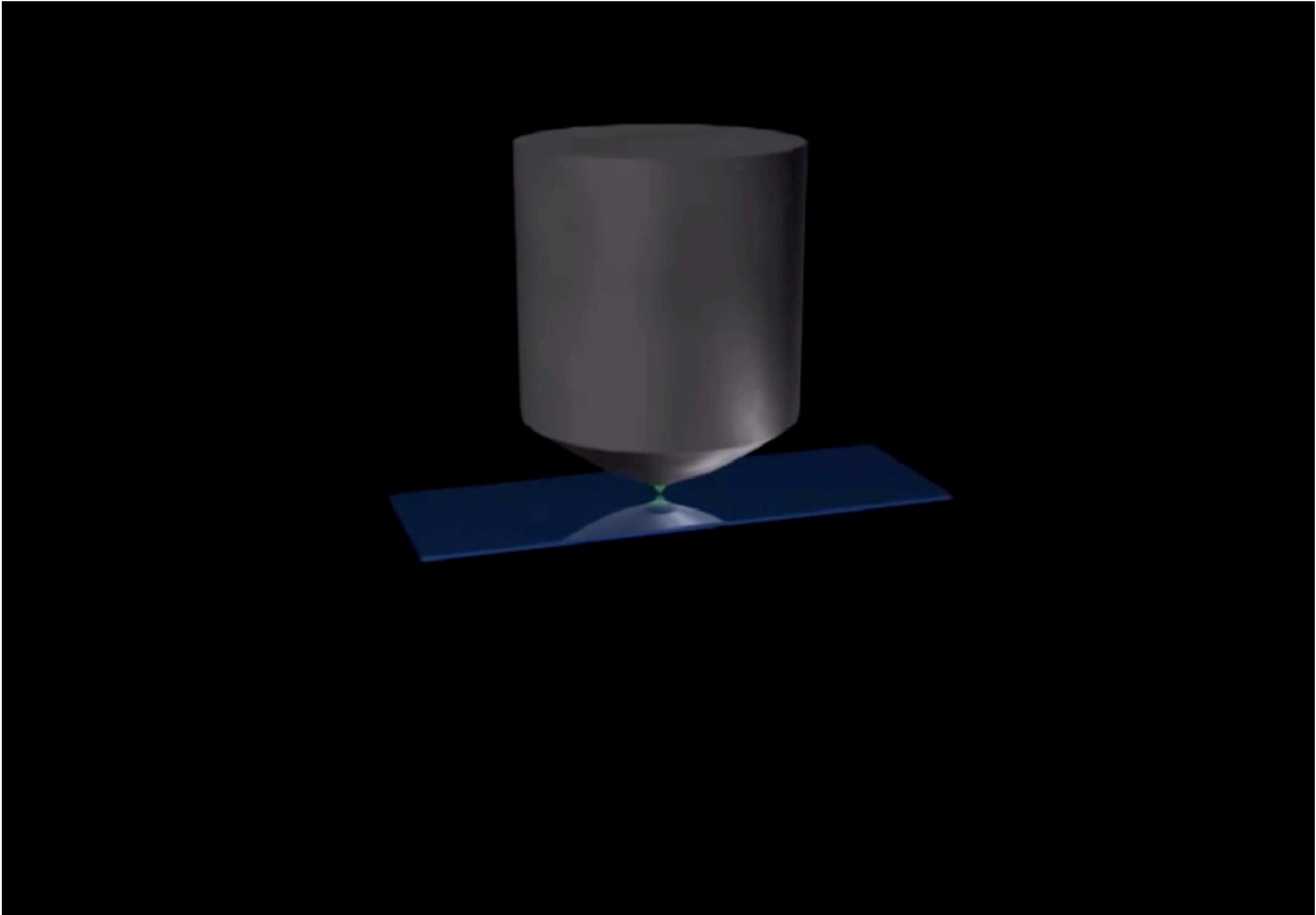


$$\text{Hell: } d = \frac{\lambda}{2 \cdot NA \sqrt{1 + I/I_s}}$$



Maghártya pórus komplexek STED mikroszkópos képe

STED mikroszkópia

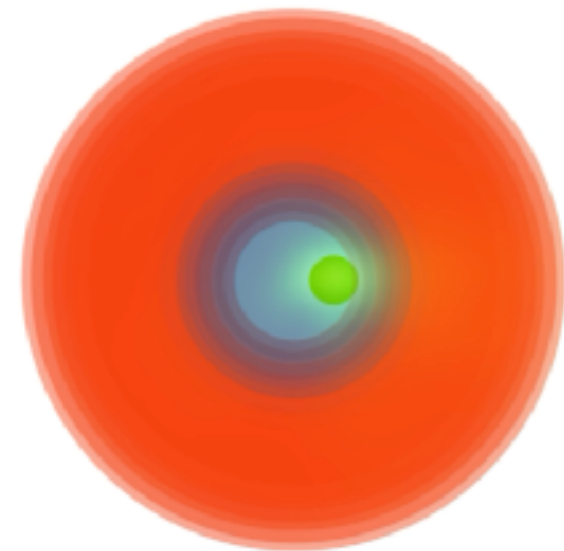


Jakub Chojnacki

RESCue STED

RESCue-STED

Probléma:
a fluorfórra eső
intenzitás hatalmas
(~MW/cm²)

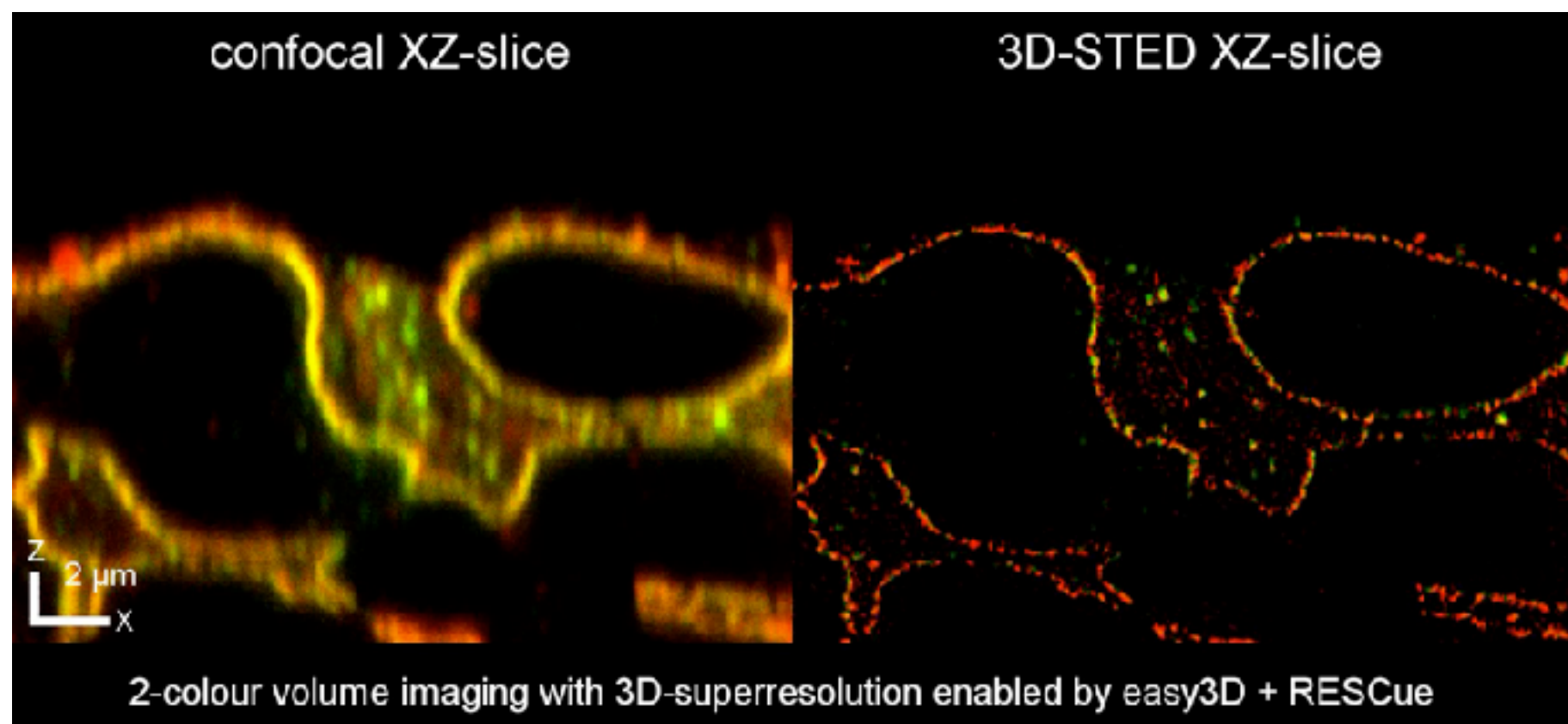
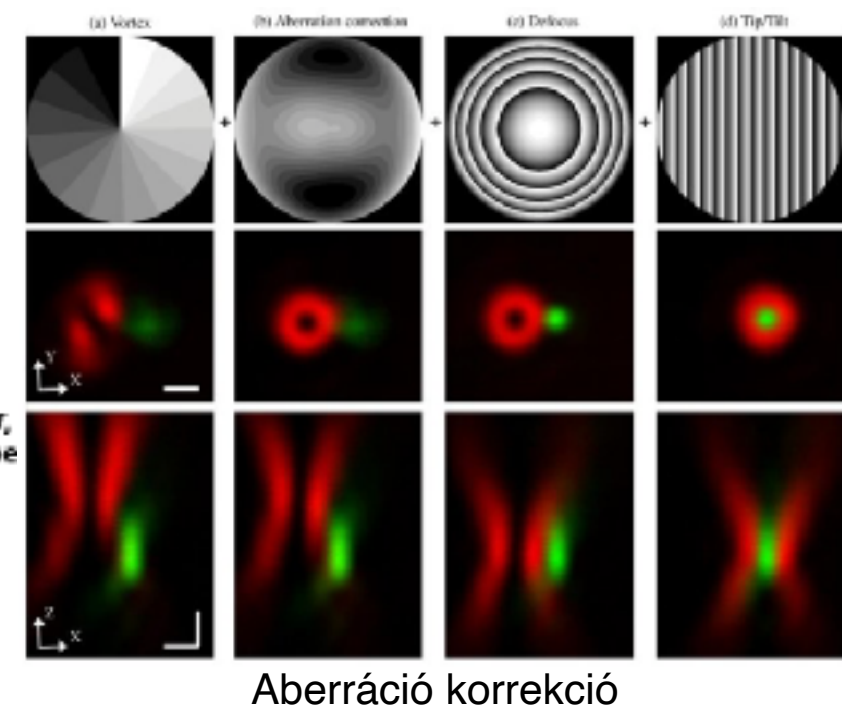
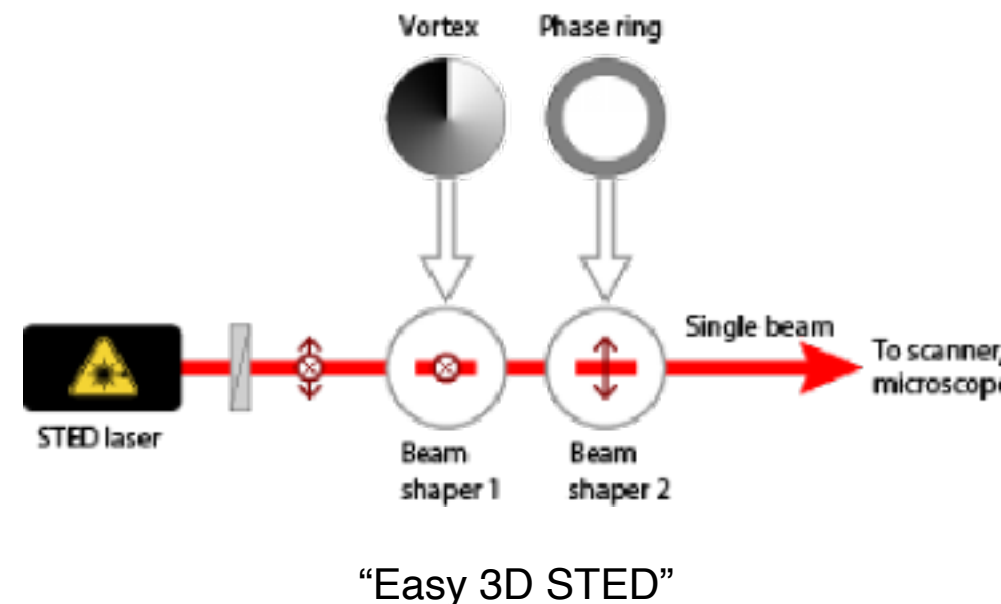


Laser beam duty cycles intelligently
adapt to sample structure

3D STED



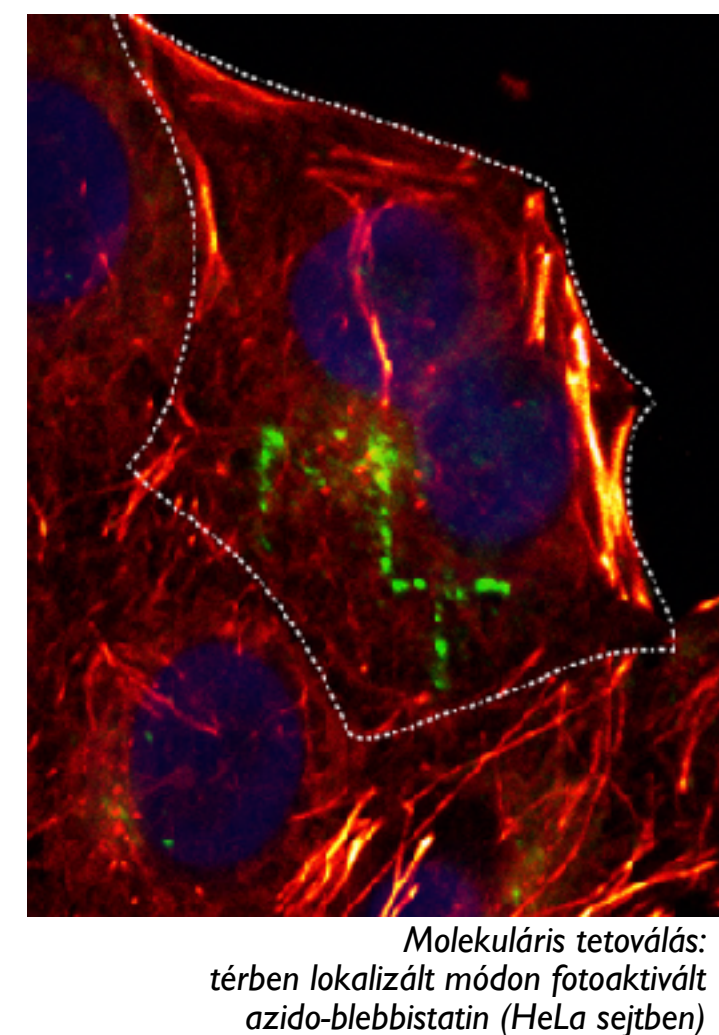
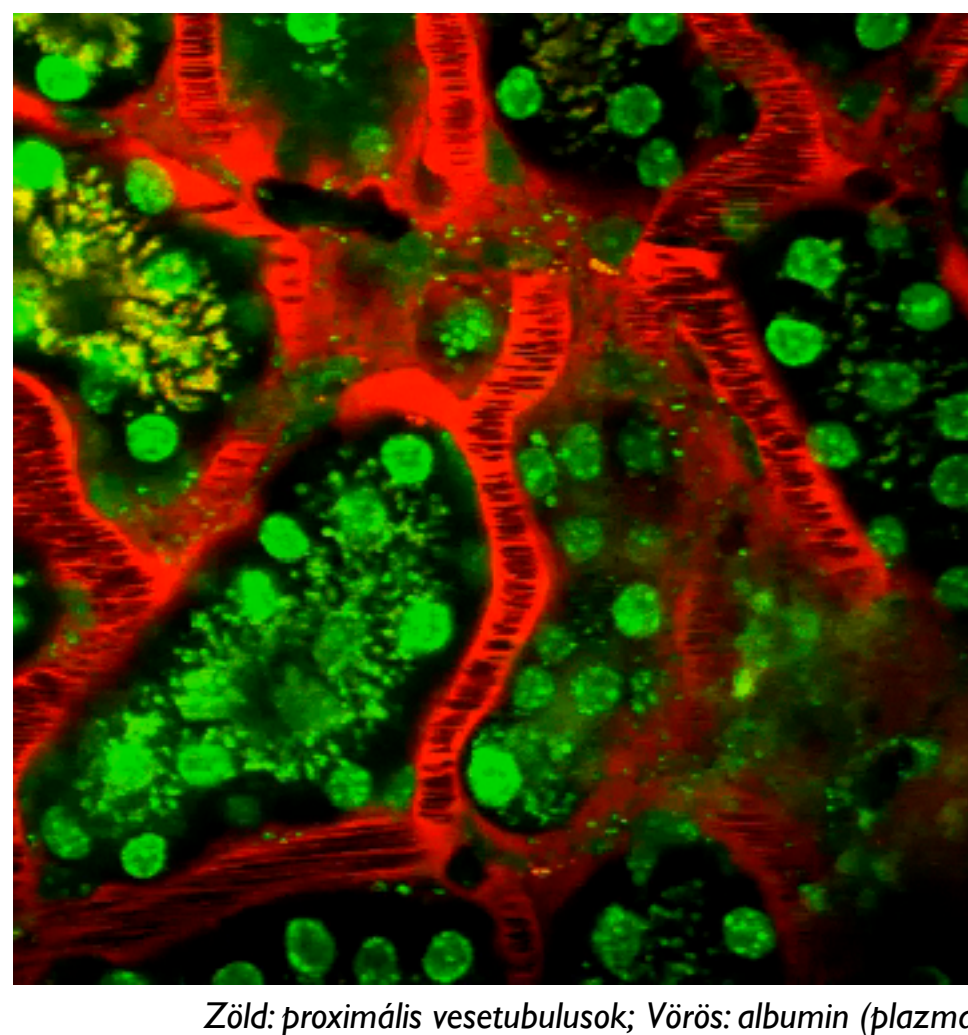
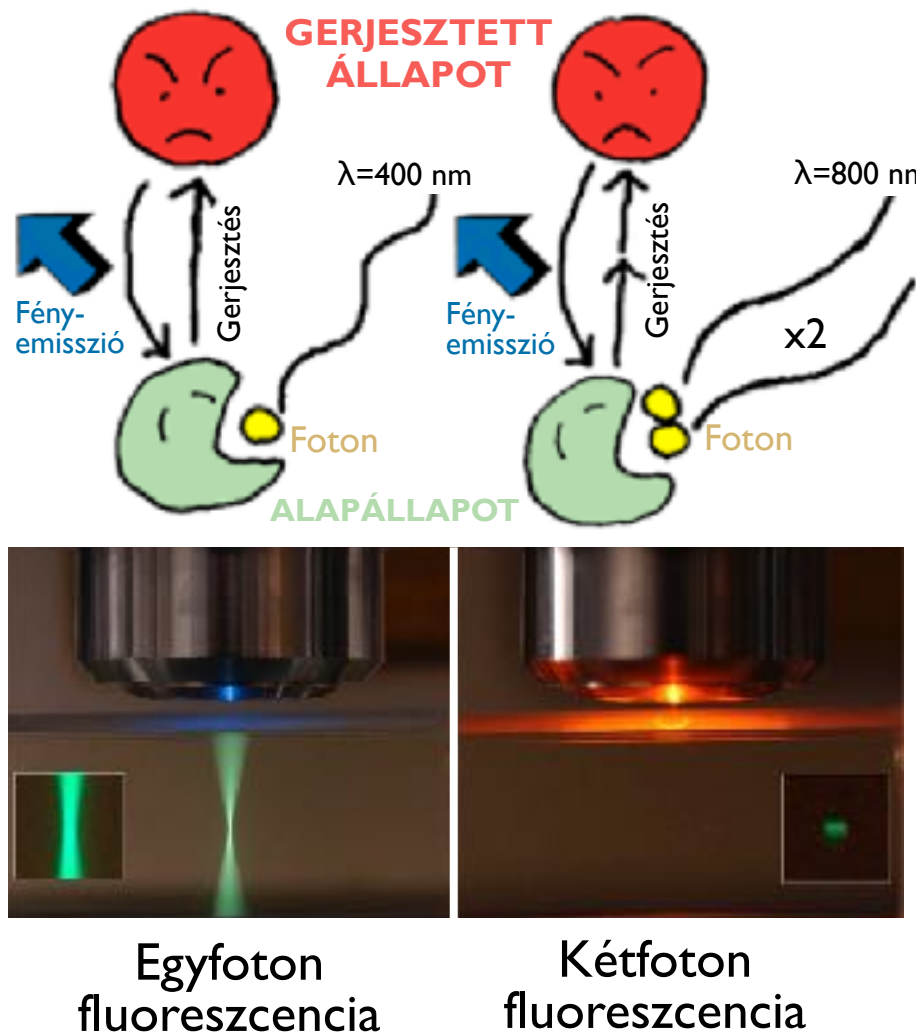
Programozható SLM (Spatial Light Modulator)



Nephrin (vörös), Podocin (zöld) (Abberior Instruments)

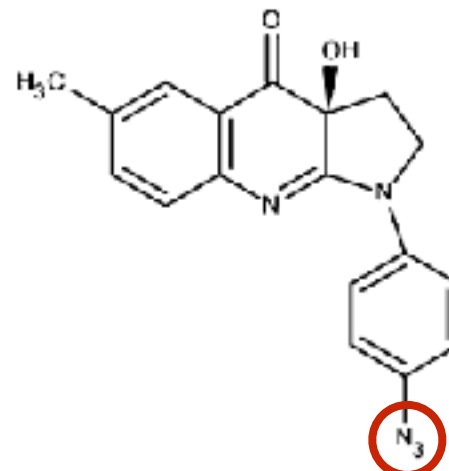
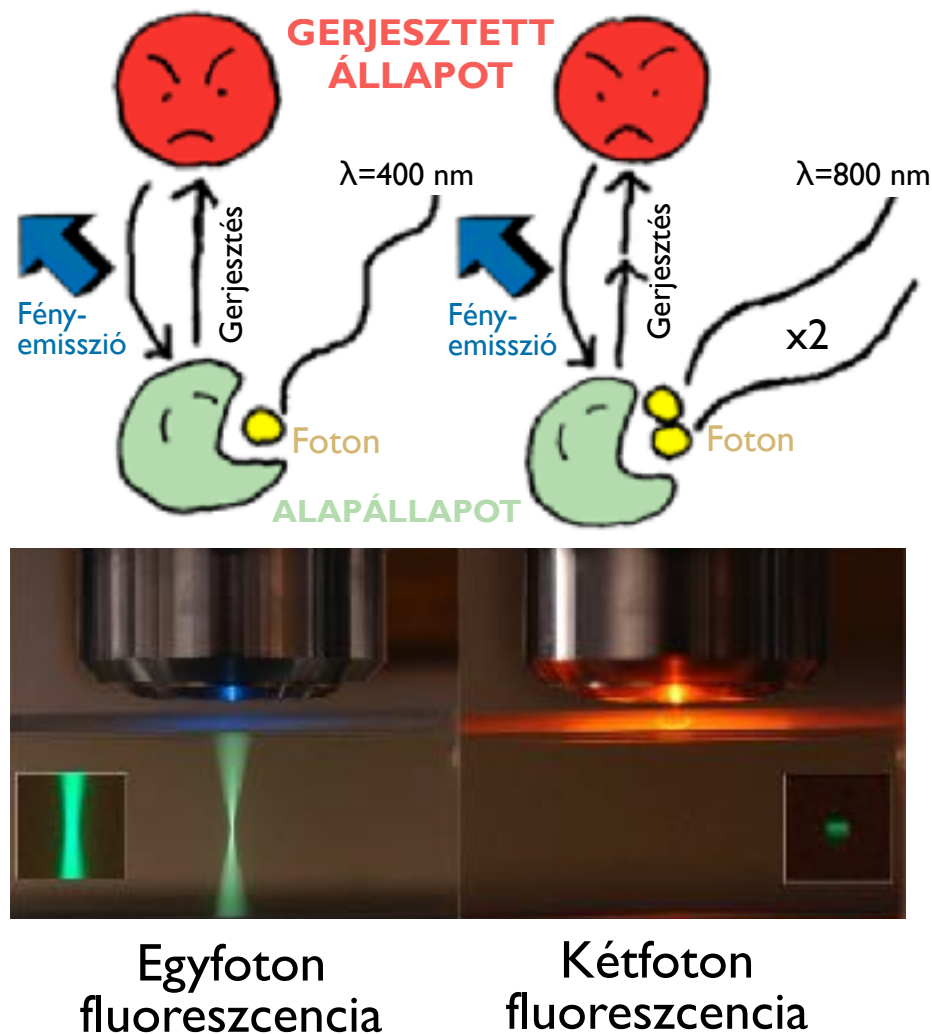
Multifoton mikroszkópia

- Két (vagy több) foton energiája összeadódik a gerjesztéskor
- Gerjesztés (következésképp emisszió) csak a fókuszpontban (limitált fotokárosítás)
- Gerjesztés nagy (közeli IR) hullámhosszú, rövid (fs) fényimpulzusokkal
- Nagy hullámhossz miatt mély optikai behatolás (akár 2 mm)
- Lokálisan aktivált fotokémiai reakciók lehetősége



Miozin II optofarmakológiai manipulálása

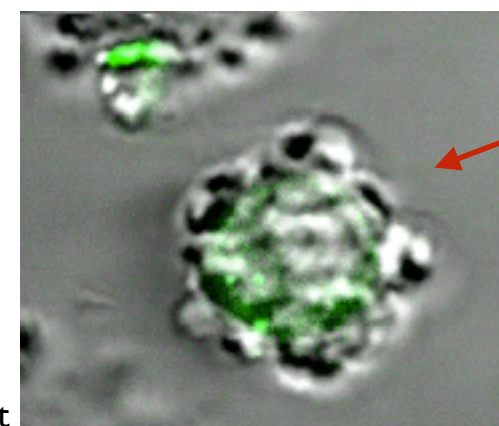
2P mikroszkóppal: femtoliteres térfogatban fotokémiai reakciót indíthatunk



Blebbistatin:

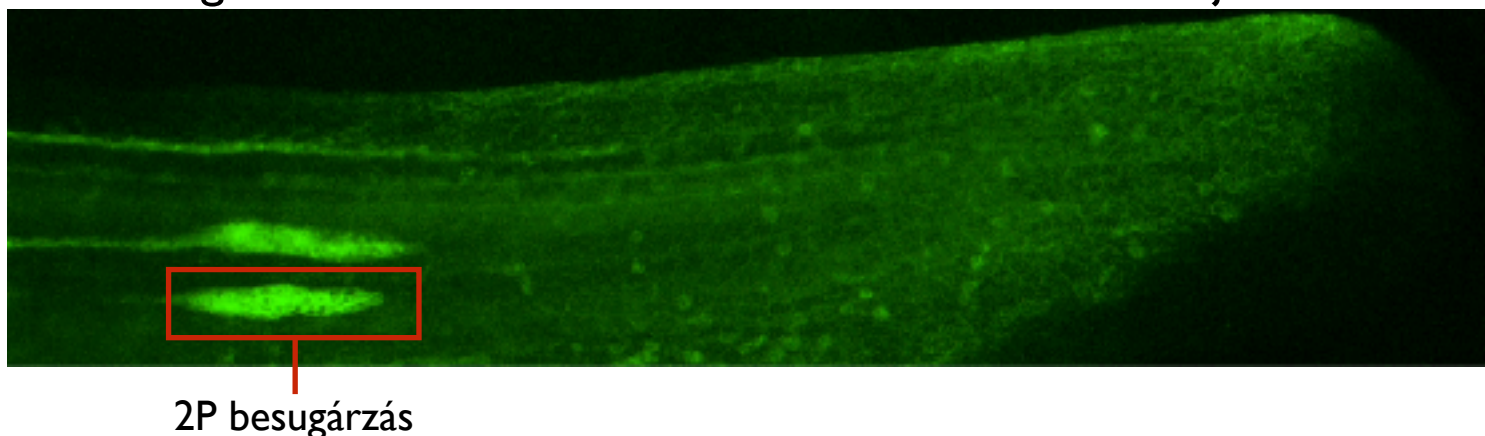
- Miozin II specifikus inhibítör (ADP-P_i állapotban stabilizál)
- Excitáció-kontrakciót szétkapcsolja
- Azidált formája fényaktiválható, a szabad forma fluoreszkál

2P besugárzás hatására a miozin II-függő blebképződés leáll



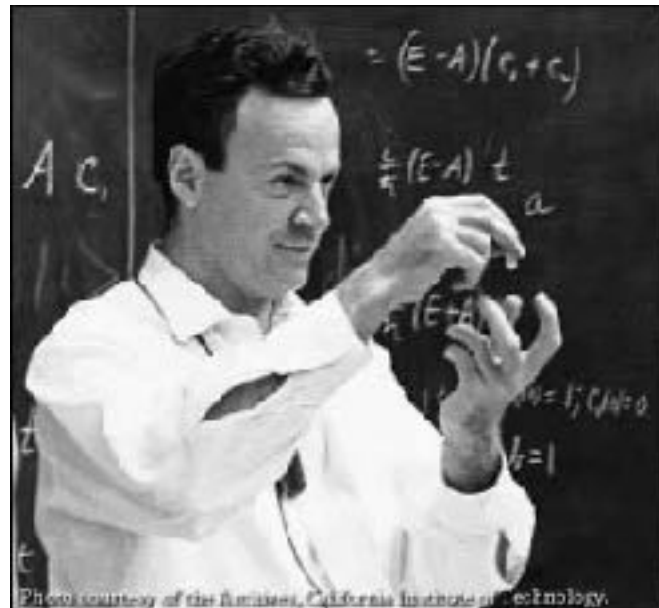
Növekvő fluoreszcencia:
felhalmozódó szabad blebbistatin

2P besugárzás hatására a zebrafájának oldalvonalszerv fejlődése leáll

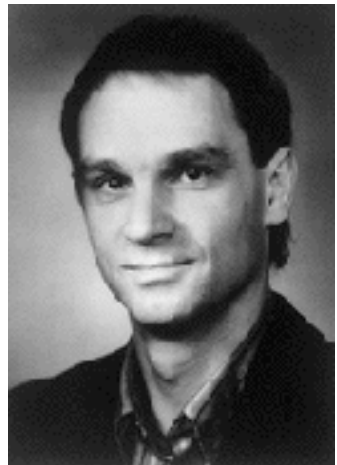


Pásztázó tűszondás mikroszkópia (SPM) Atomi erőmikroszkóp (AFM)

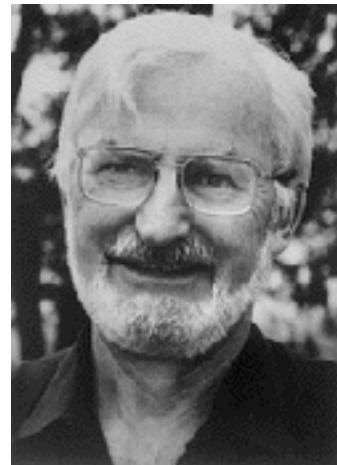
A nanotudományok "álomműszerei"



Richard P. Feynman:
"There is plenty of room at the bottom"
1959. december 29.



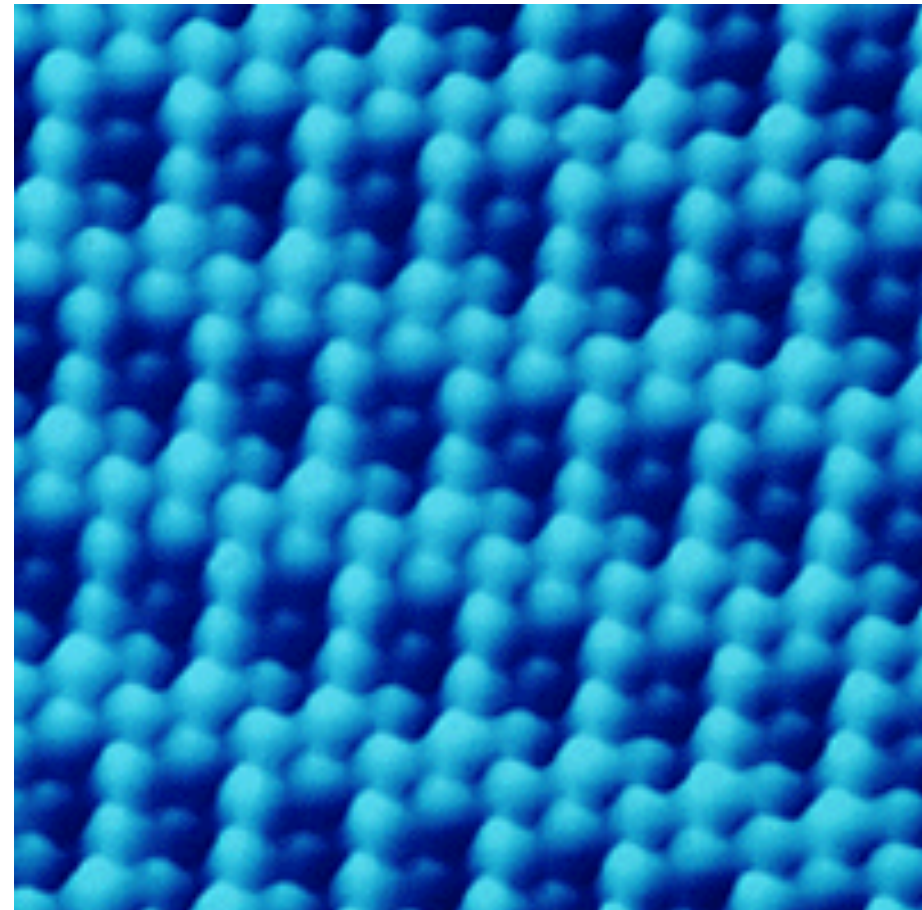
Gerd Binnig



Heinrich Rohrer

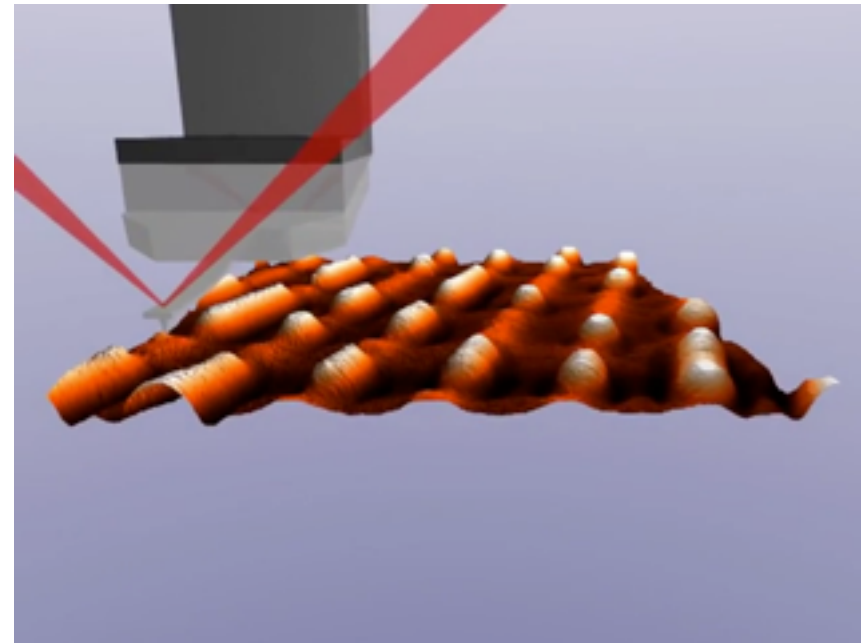
(Nobel-díj
1986)

Oxigén atomok rhodium
egykristály felületén

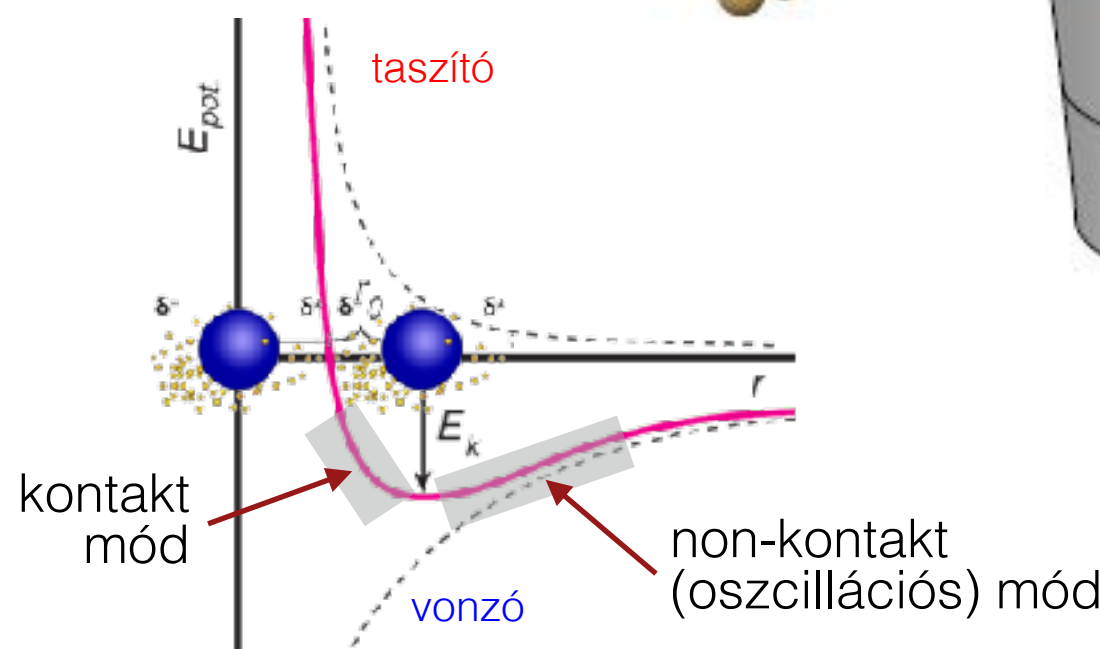


a "nanovilág" léptéke:
1 nanométer

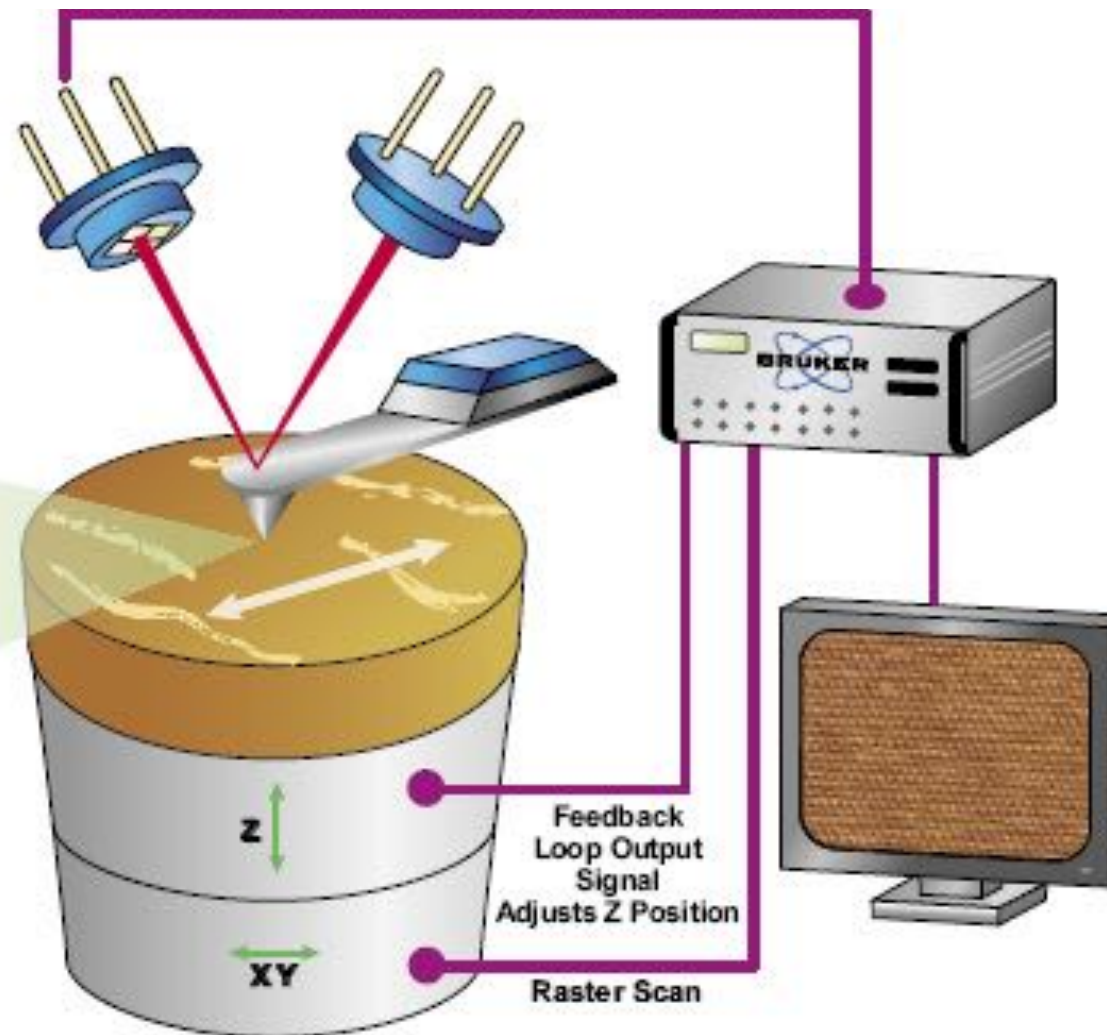
Az atomi erőmikroszkóp (AFM)



1. Van der Waals kölcsönhatás a tű és a minta atomjai között



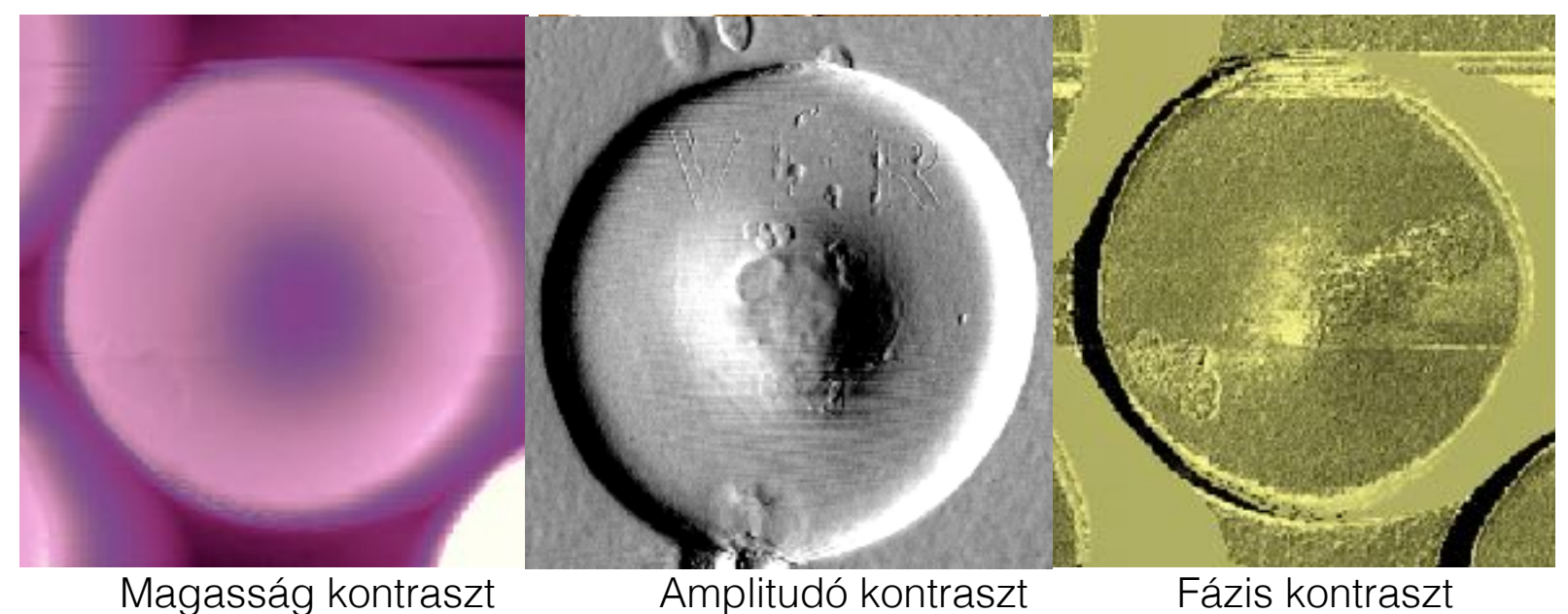
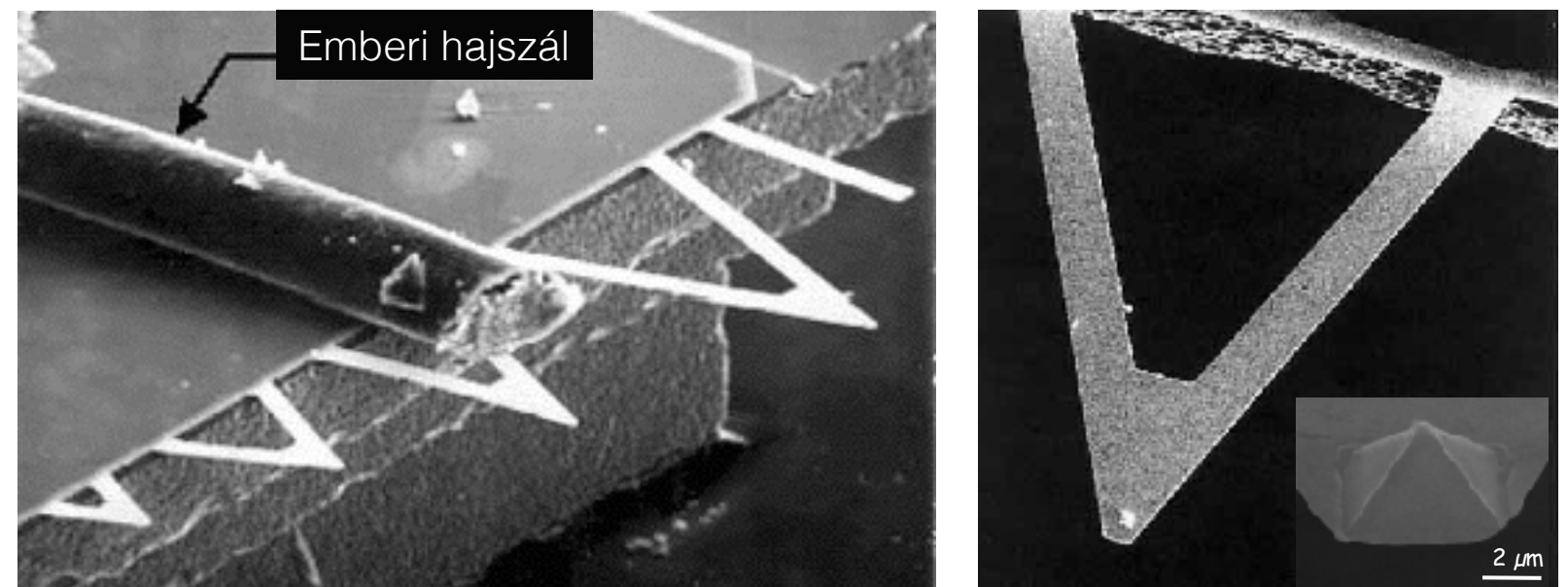
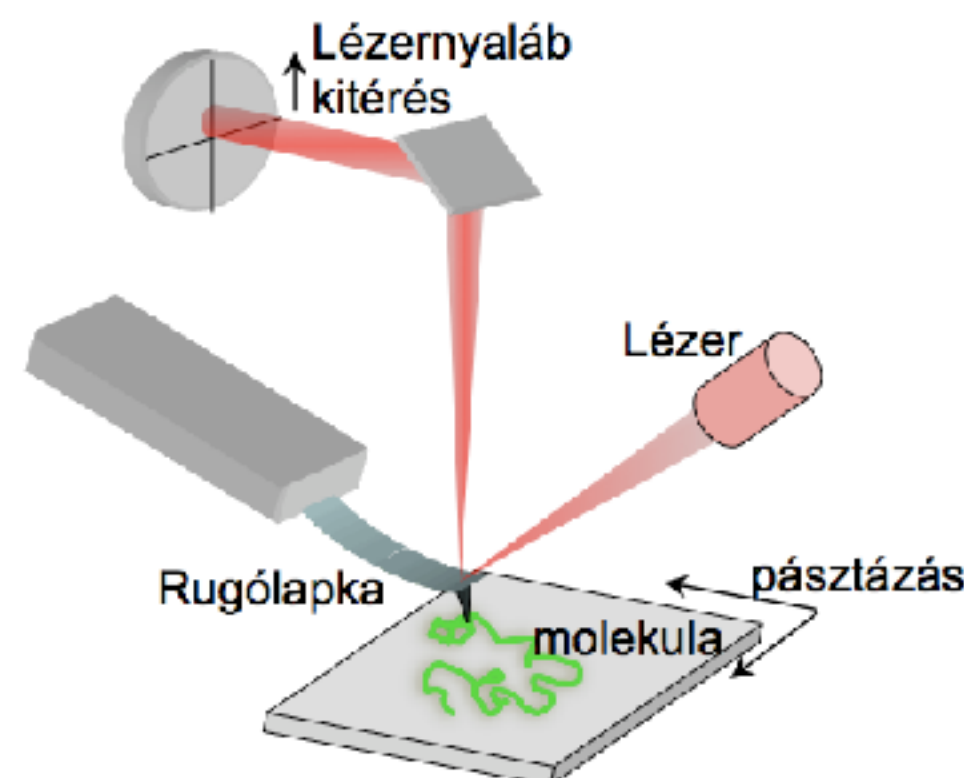
2. egy apró laprugó (rugólapka) elhajlását mérjük egy rávetülő lézerrel



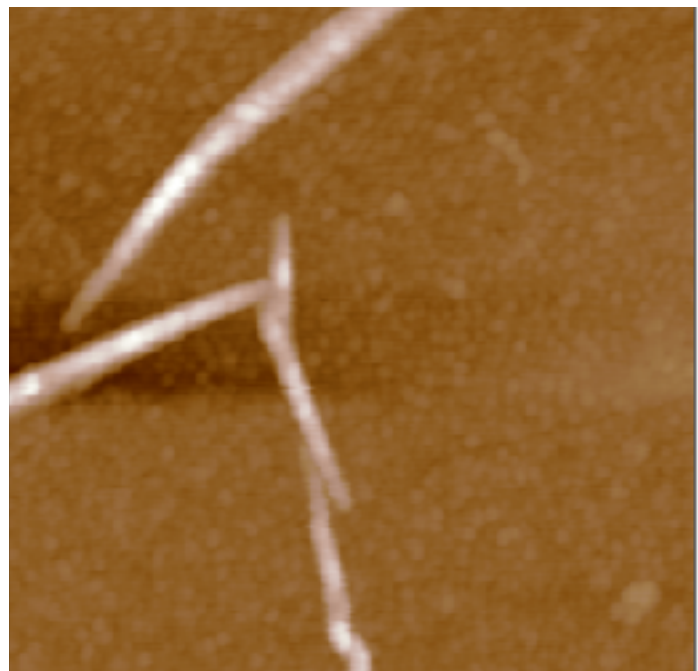
3. a mintát (vagy a rugólapkát) X-Y-Z irányokban mozgatva pásztázunk

Atomi erőmikroszkóp (AFM)

AFM működése



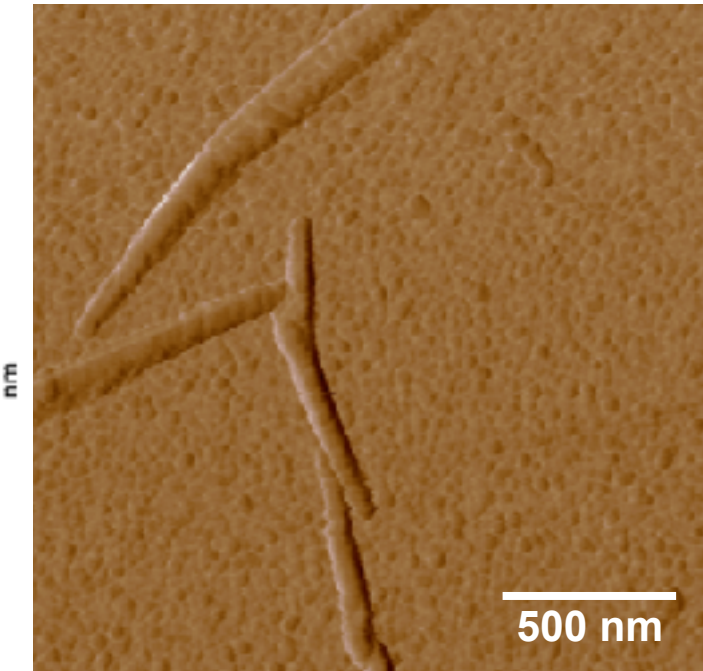
Kontrasztmechanizmusok



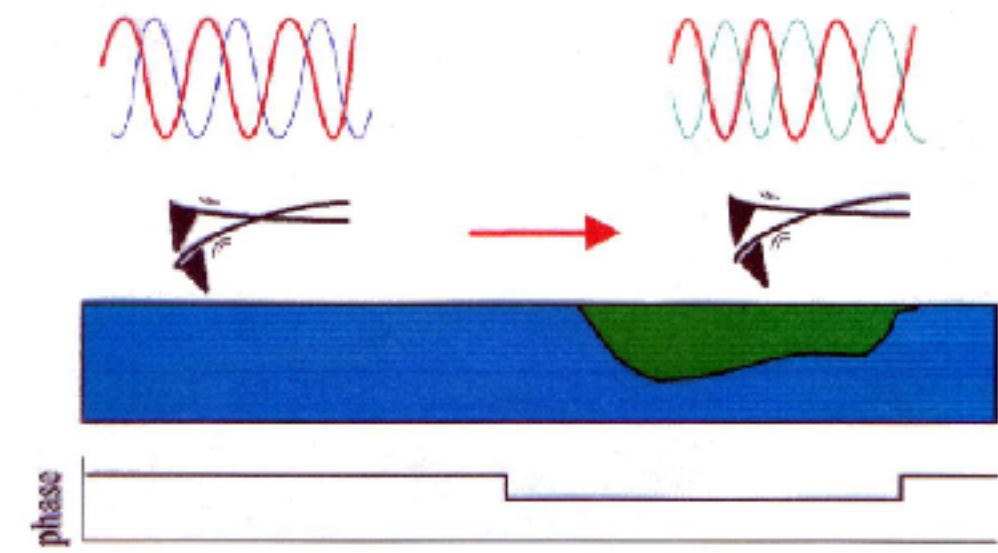
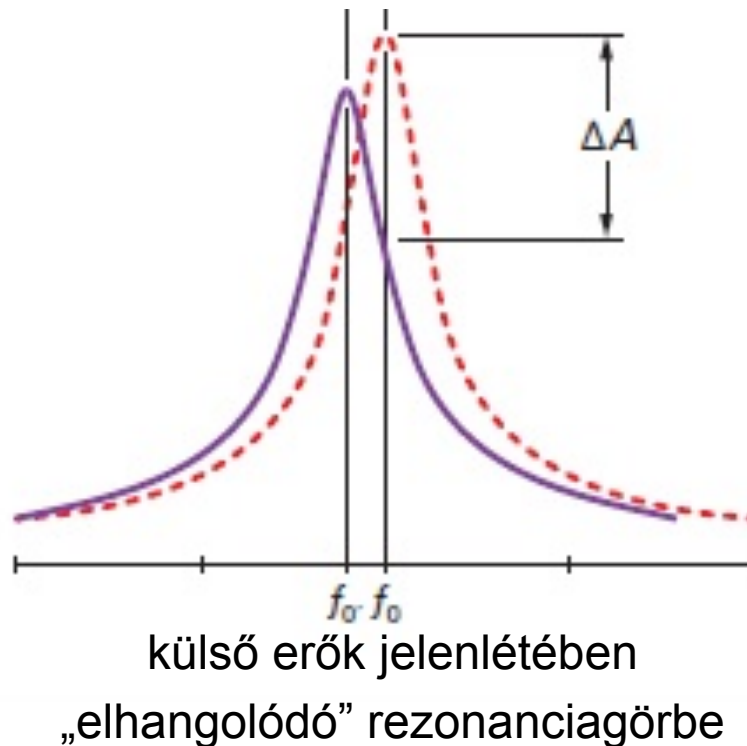
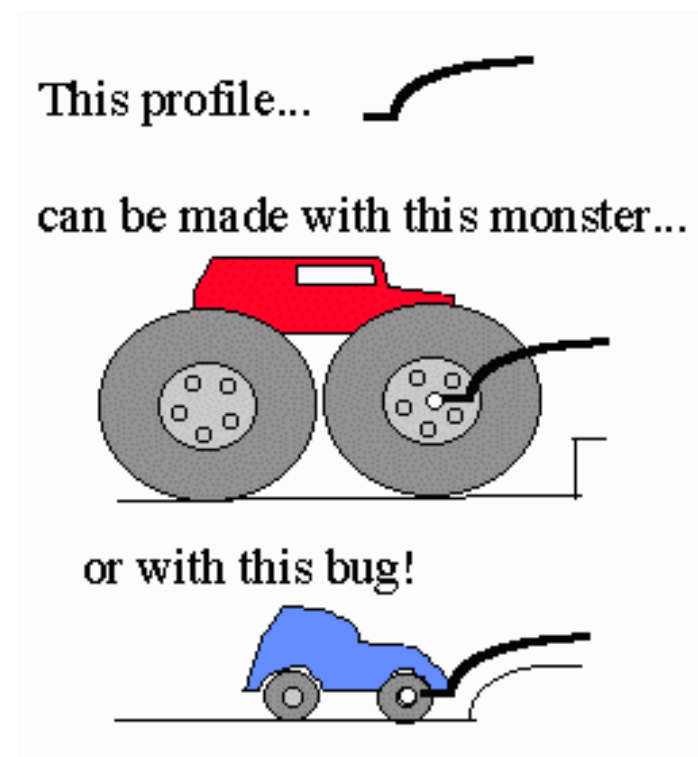
magasság kontraszt



amplitúdó kontraszt



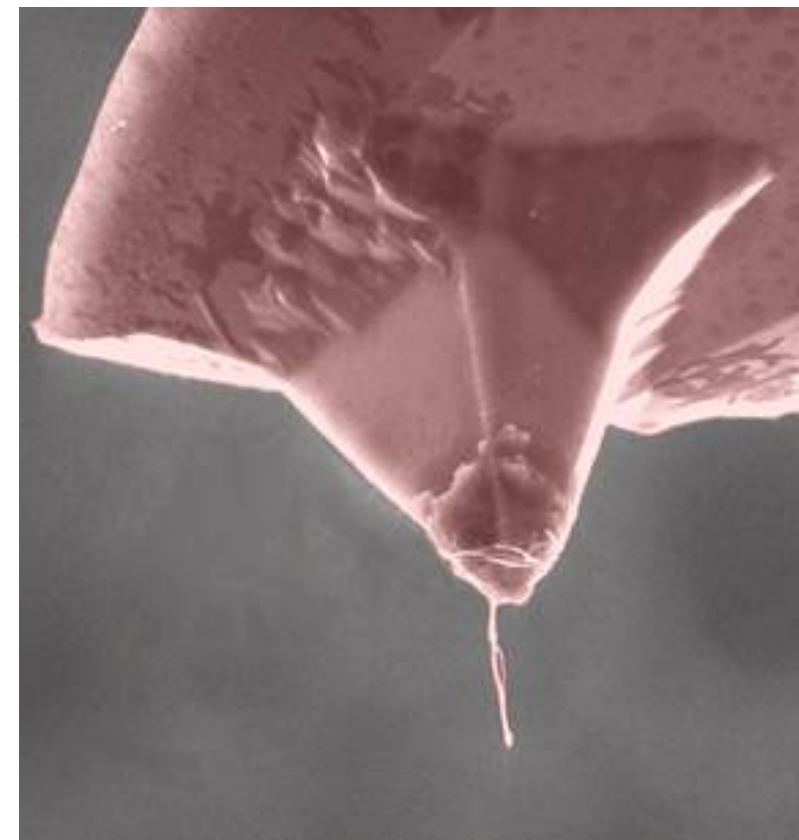
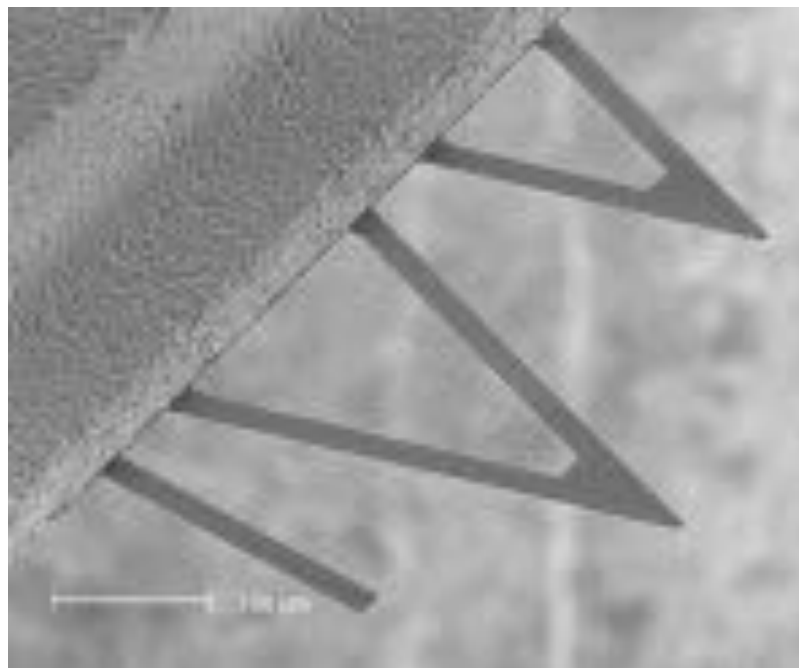
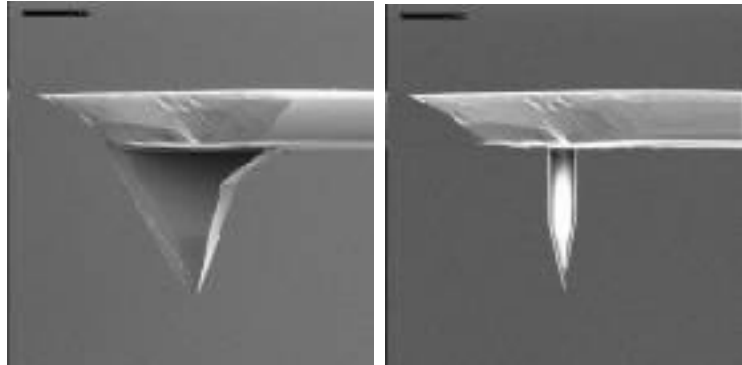
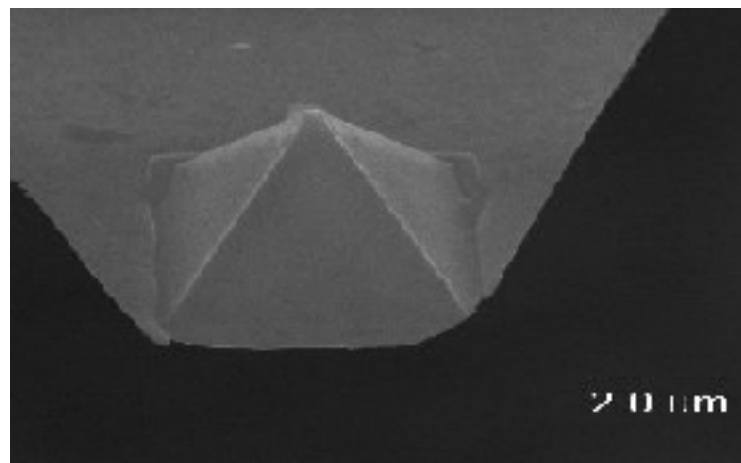
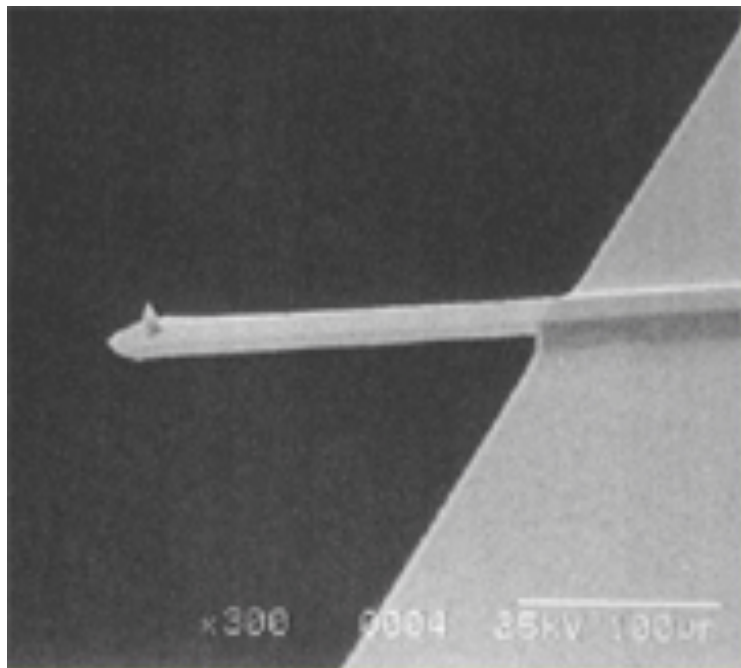
fázis kontraszt



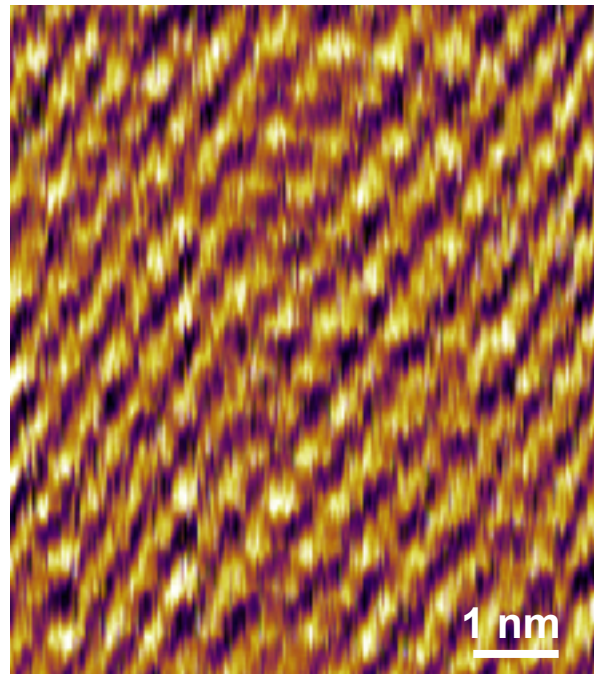
gerjesztő elektromos jel és a rugólapka
sajátrezgésének fáziskülönbsége

AFM Rugólapkák és tűk

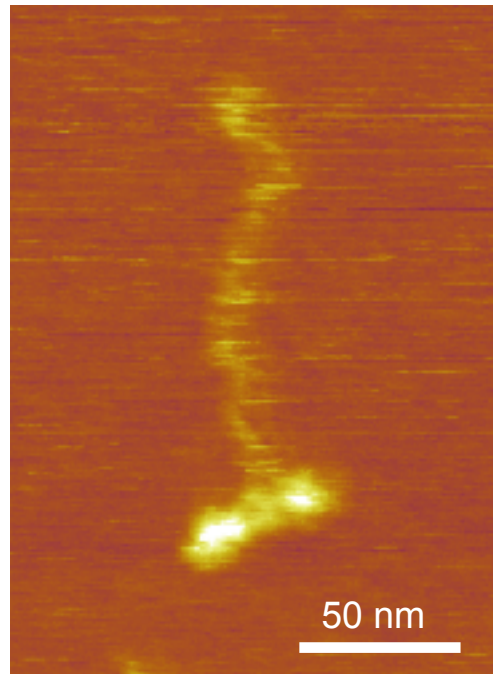
Az AFM kép térbeli feloldóképességét a tű görbületi sugara határozza meg



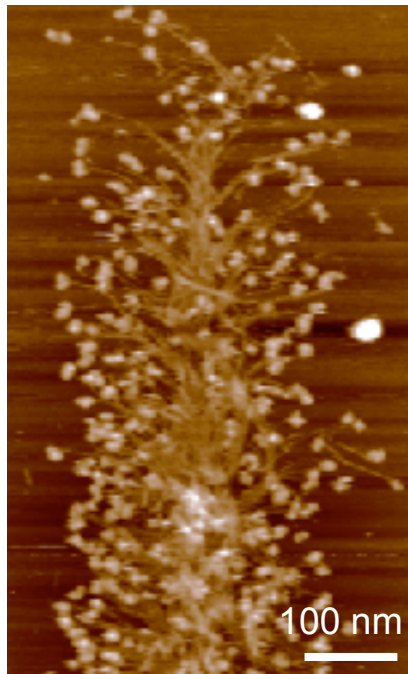
Atomok, molekulák, komplexek AFM képe



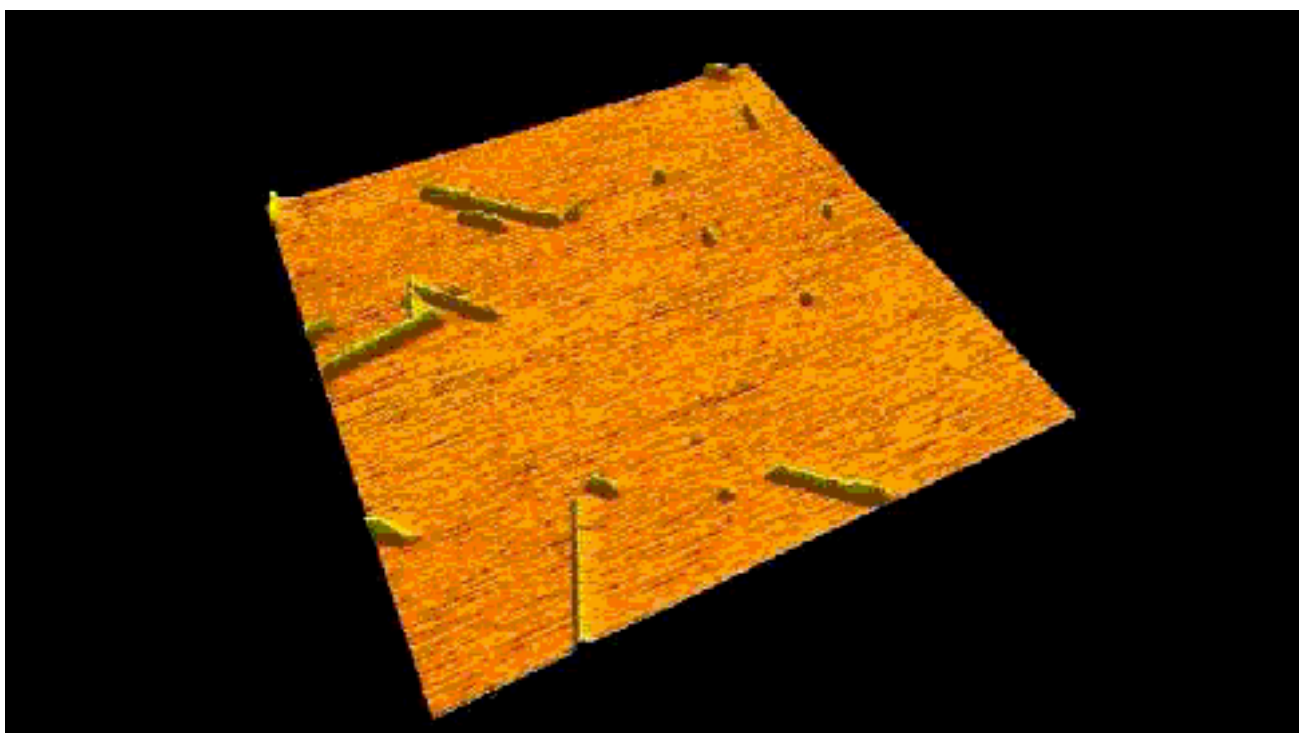
Csillám



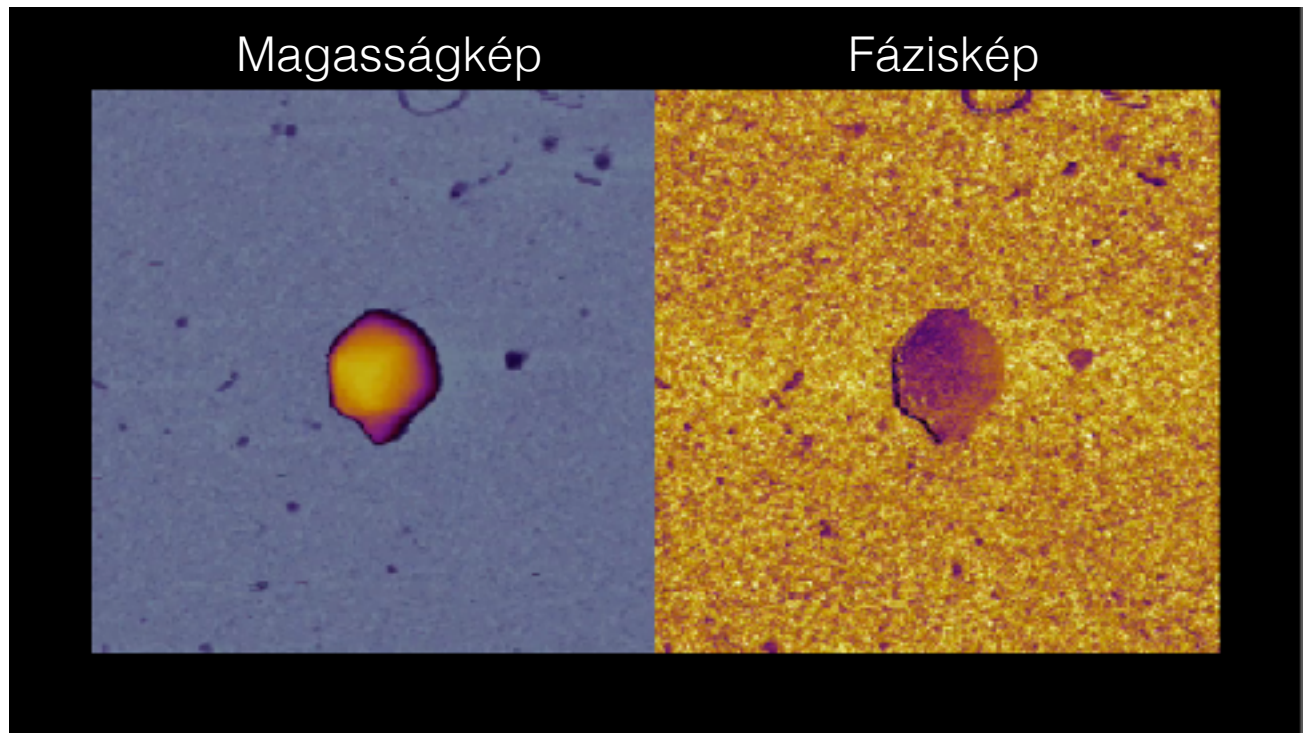
Miozinmolekula és filamentum



Amiloid β 1-40 fibrillumok



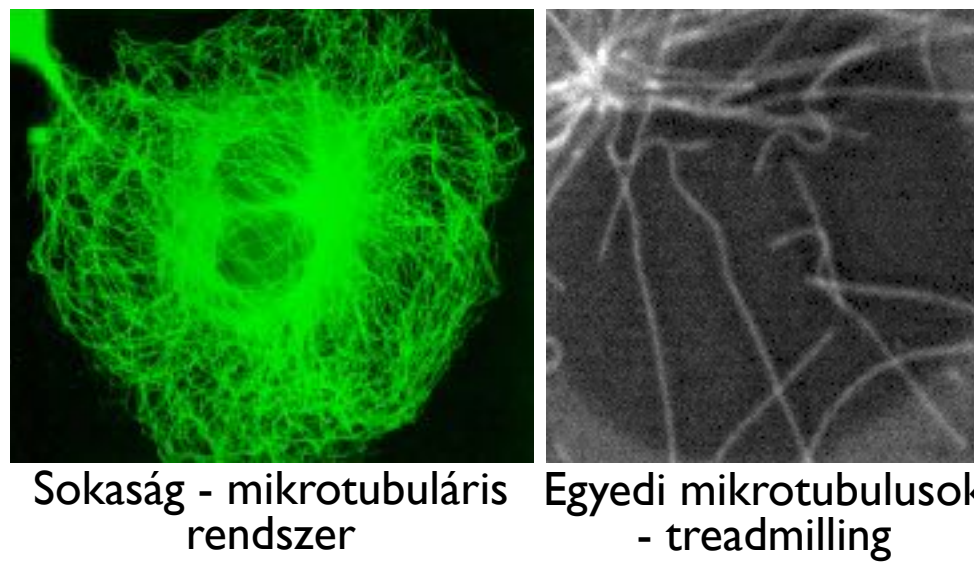
Amiloid fibrillumok növekedése



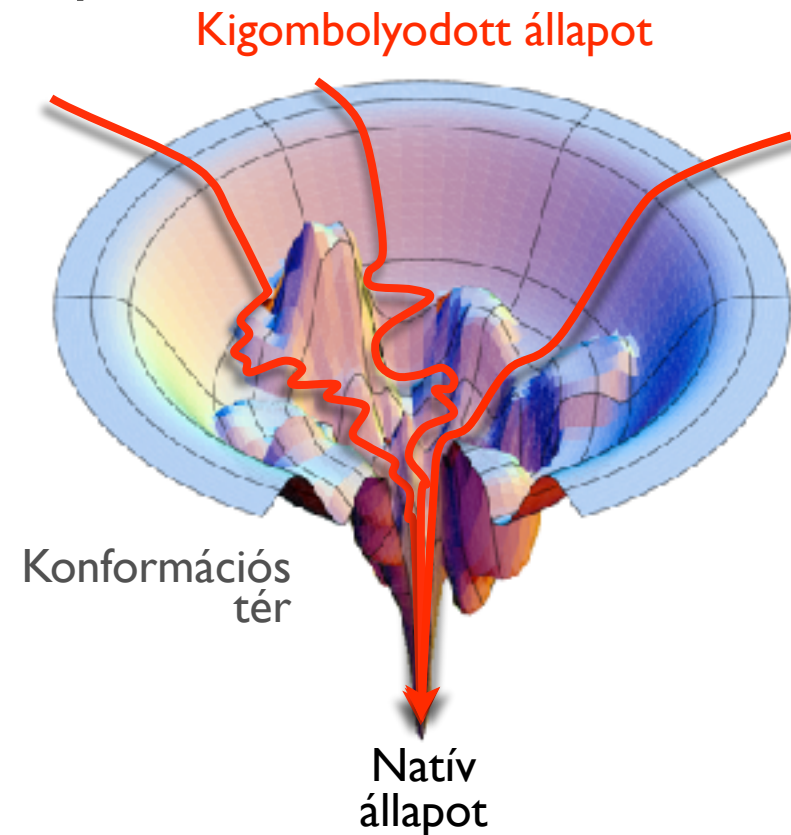
Vírus DNS kilökődése

Molekulák - miért egyenként?

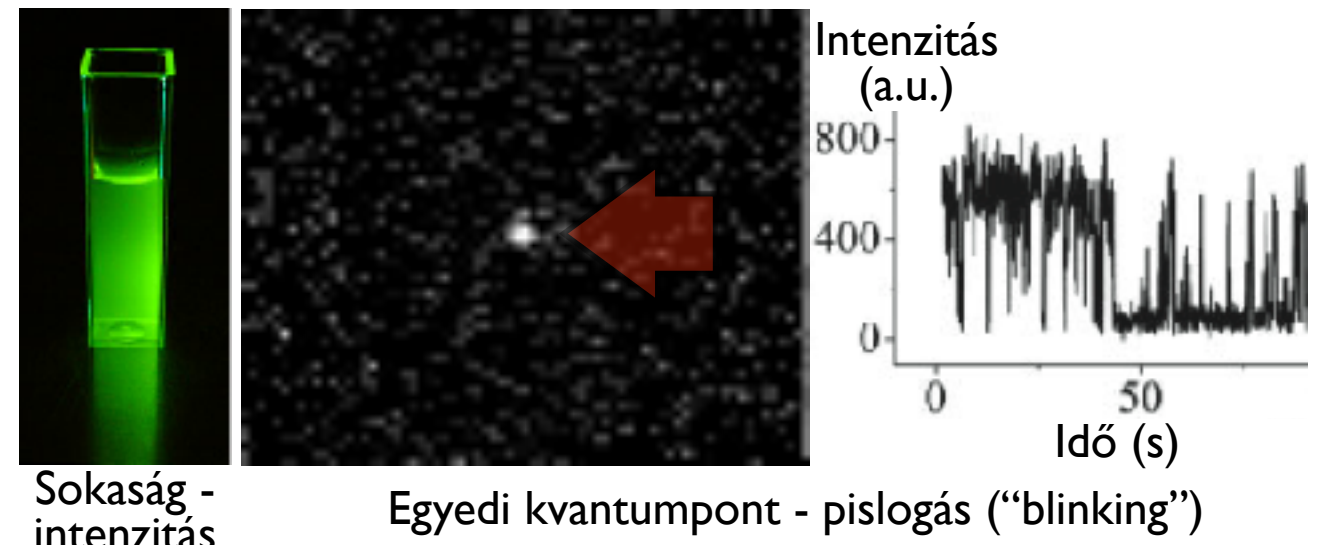
I. Egyéneket (tér- és időbeli tajektóriák) azonosíthatunk sokaságban



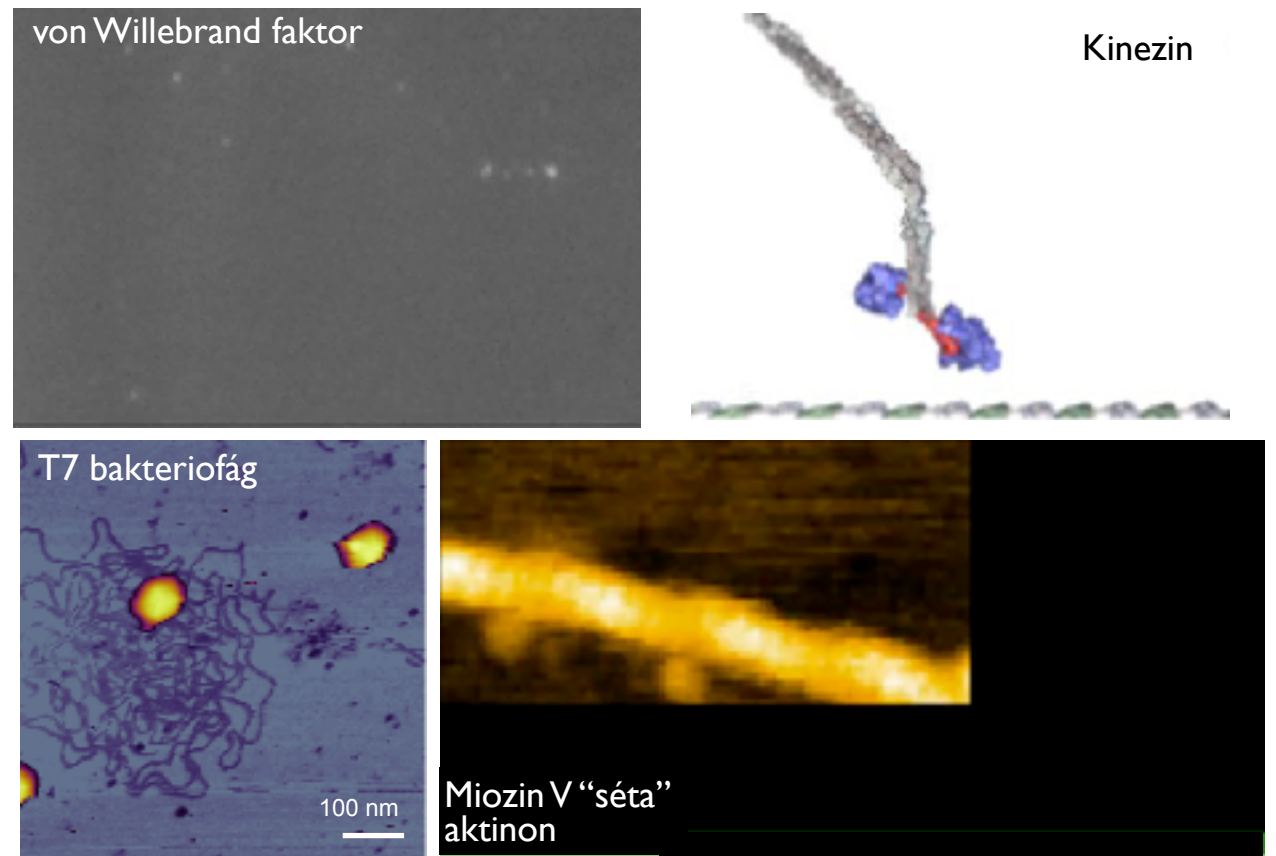
3. Párhuzamos útvonalakon zajló folyamatokat azonosíthatunk



2. Sztochasztikus folyamatokat ismerhetünk meg

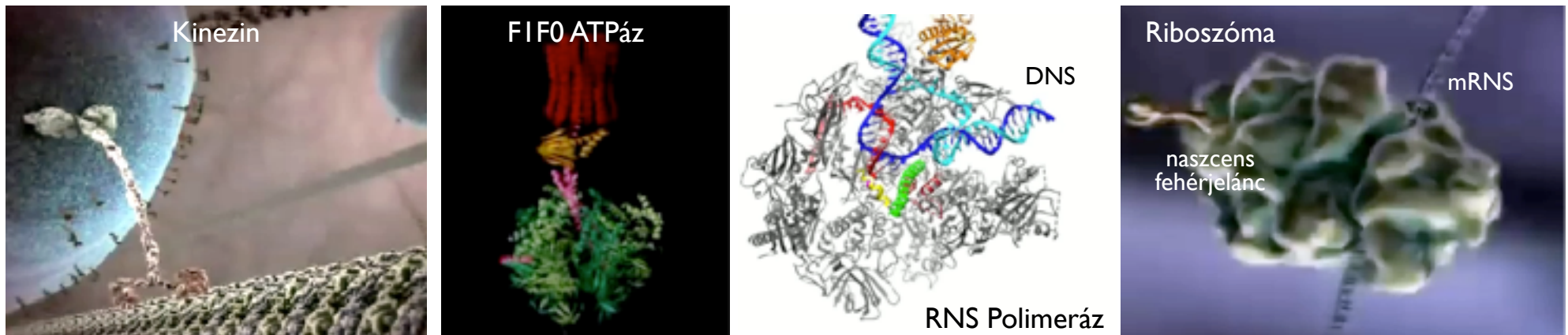


4. Biomolekulák mechanikáját jellemezhetjük

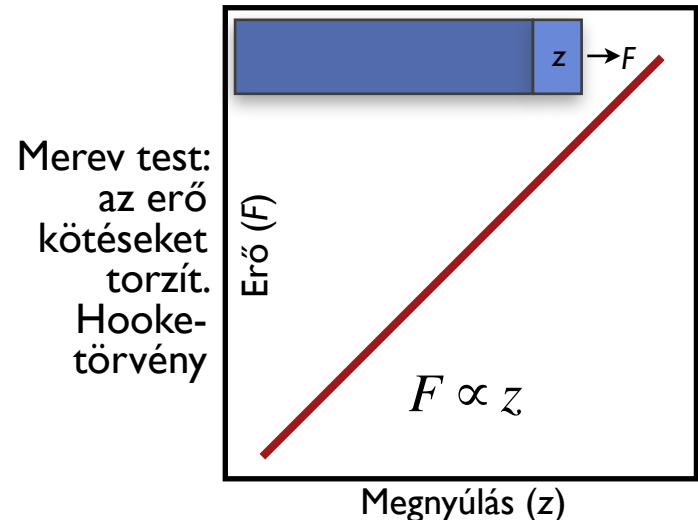


A mechanikai erő...

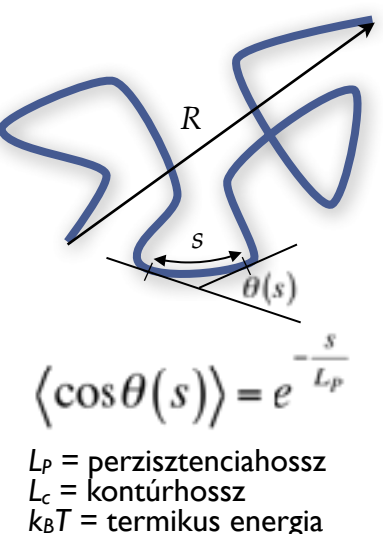
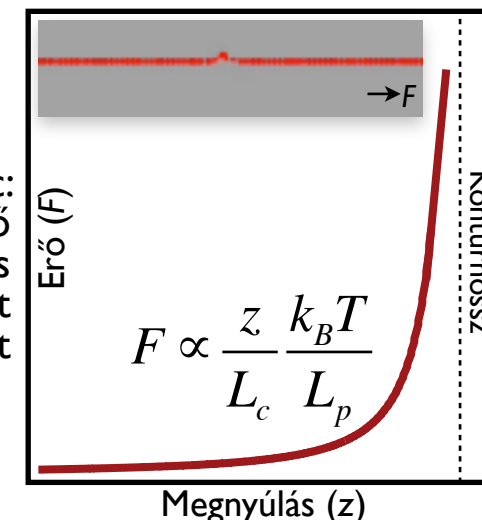
1) kifejlődik:



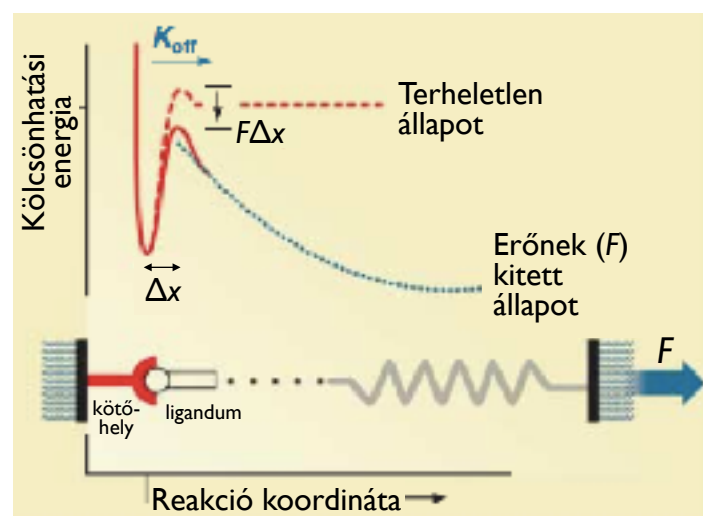
2) deformálja a szerkezetet:



Polimerlánc: az erő konfigurációs entrópiát csökkent



3) kötéseket szakít fel:

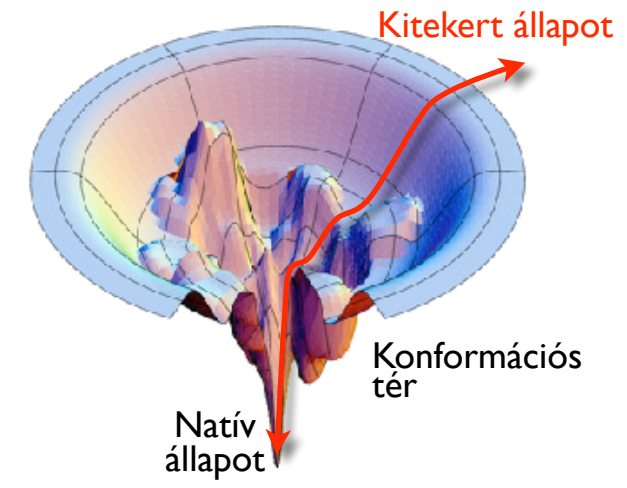


Terhelt kötés élettartama csökken:

$$\tau(F) = \omega e^{\frac{E_a - F\Delta x}{k_B T}}$$

ω = karakterisztikus idő
 E_a = aktivációs energia
 Δx = távolság a kötött és tiszítós állapotok között

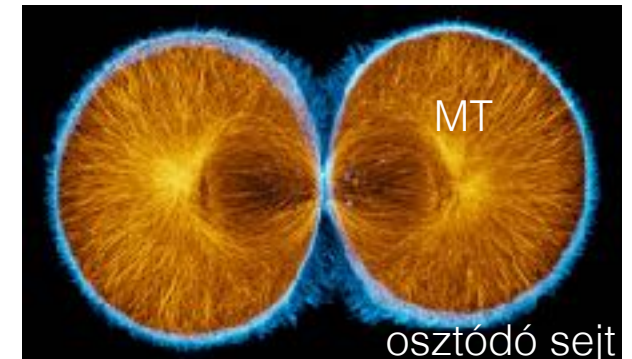
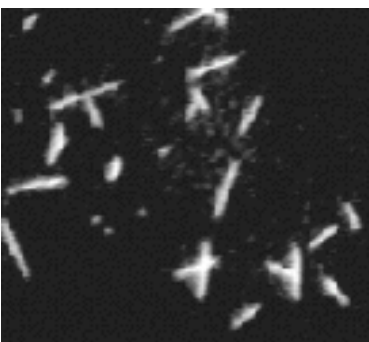
Kötés	Kovalens	H-híd, elektrosztatikus
Szakítási erő	$\sim nN$	\sim néhány 10 pN



A polimerlánc egyensúlyi alakja és rugalmassága összefügg

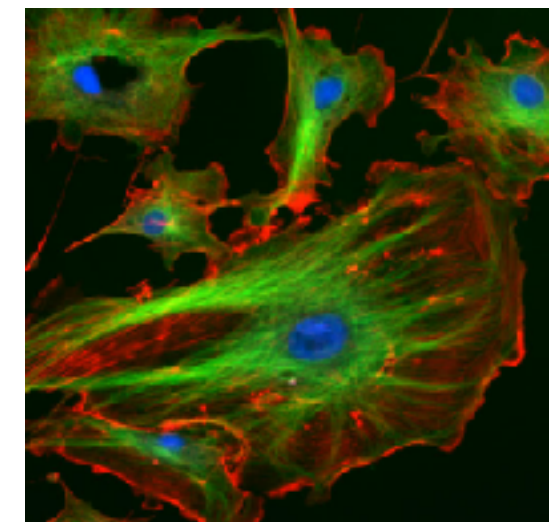
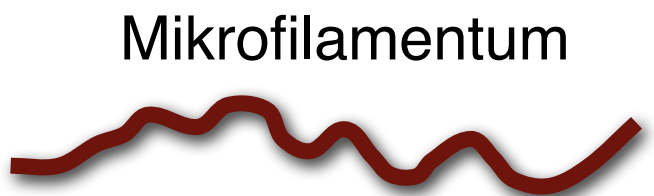
Merev lánc

$$l_p \gg L$$



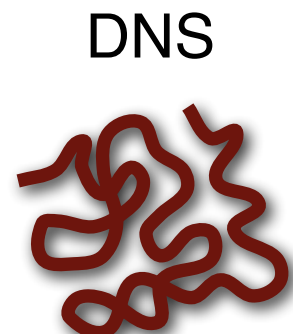
Szemiflexibilis lánc

$$l_p \approx L$$

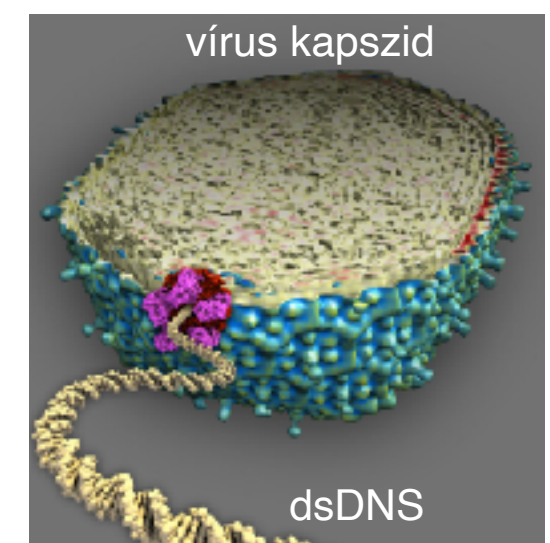
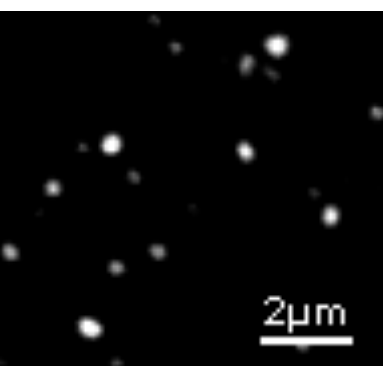


Flexibilis lánc

$$l_p \ll L$$



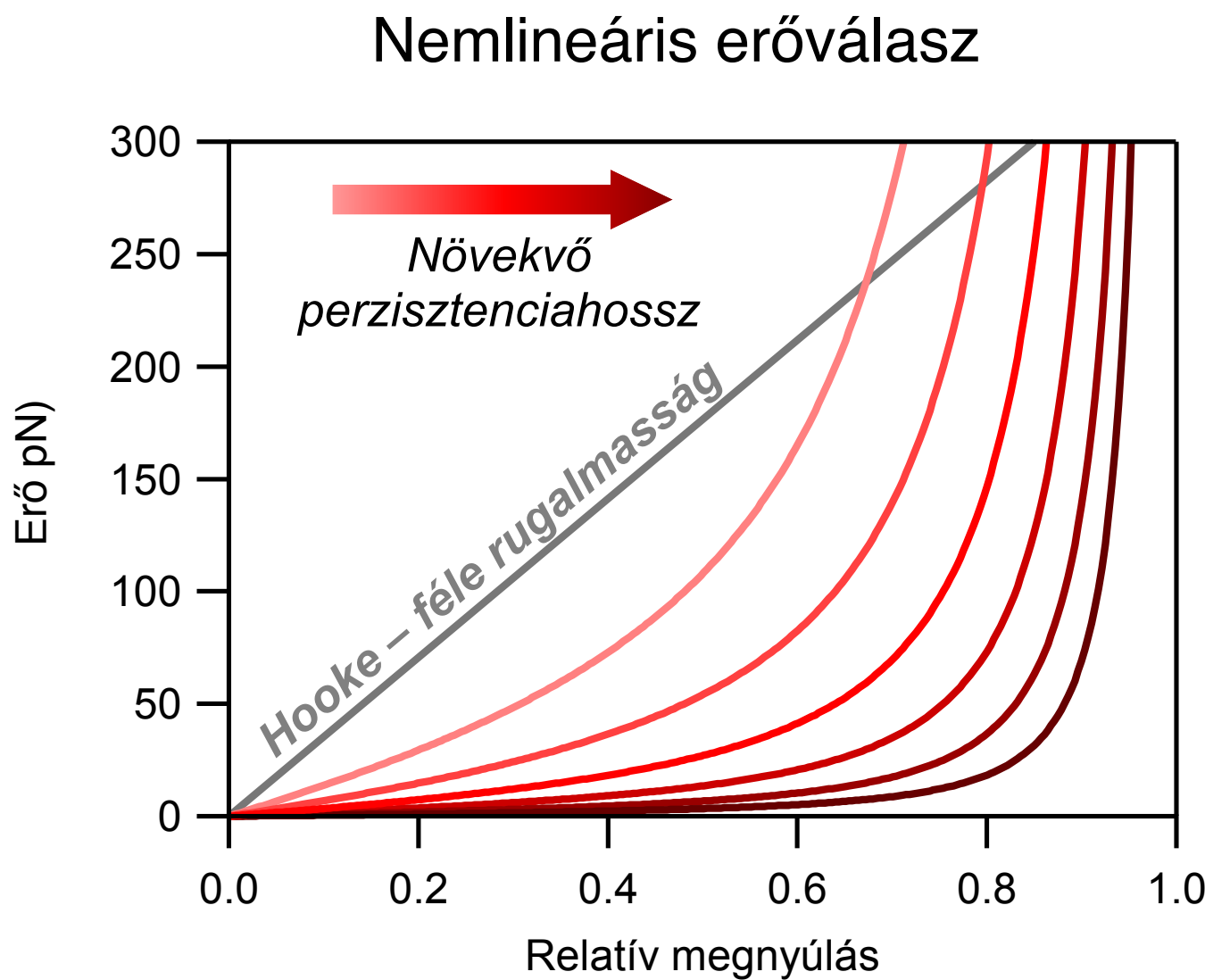
l_p = perzisztenciahossz
 L = kontúrhossz



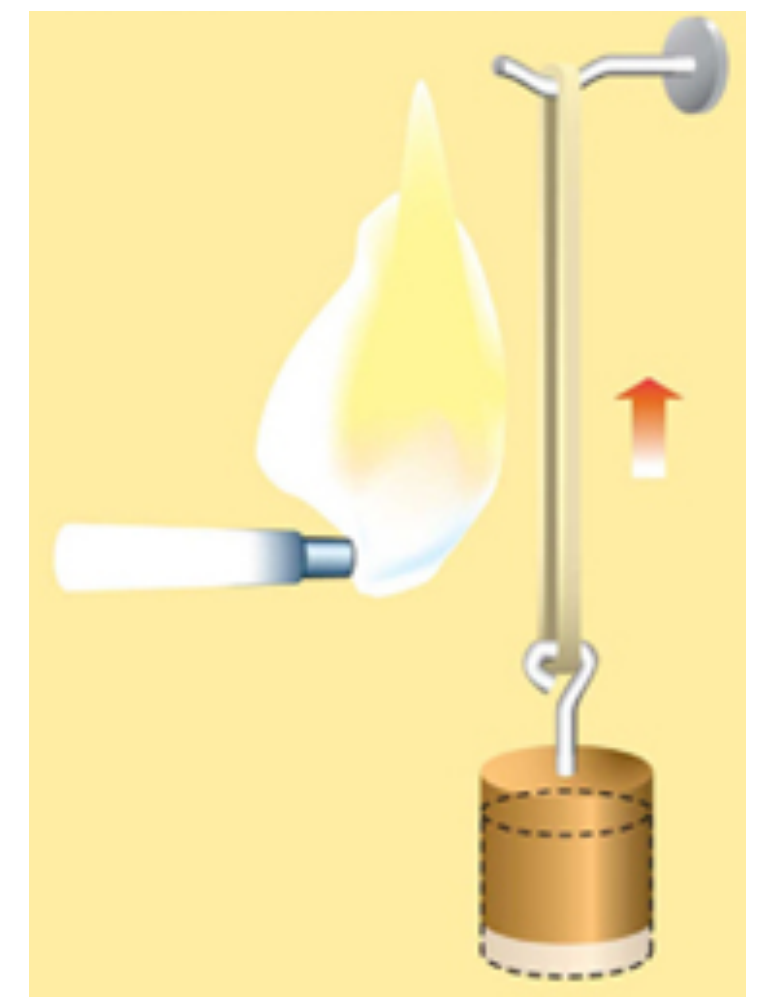
A polimerlánc erővel kinyújtható

$$F \propto \frac{R}{L} \frac{k_B T}{l_P}$$

F = erő
 l_P = perzisztenciahossz
 k_B = Boltzmann állandó
 T = abszolút hőmérséklet
 L = kontúrhossz
 R = vég-vég hossz
 R/L = relatív megnyúlás

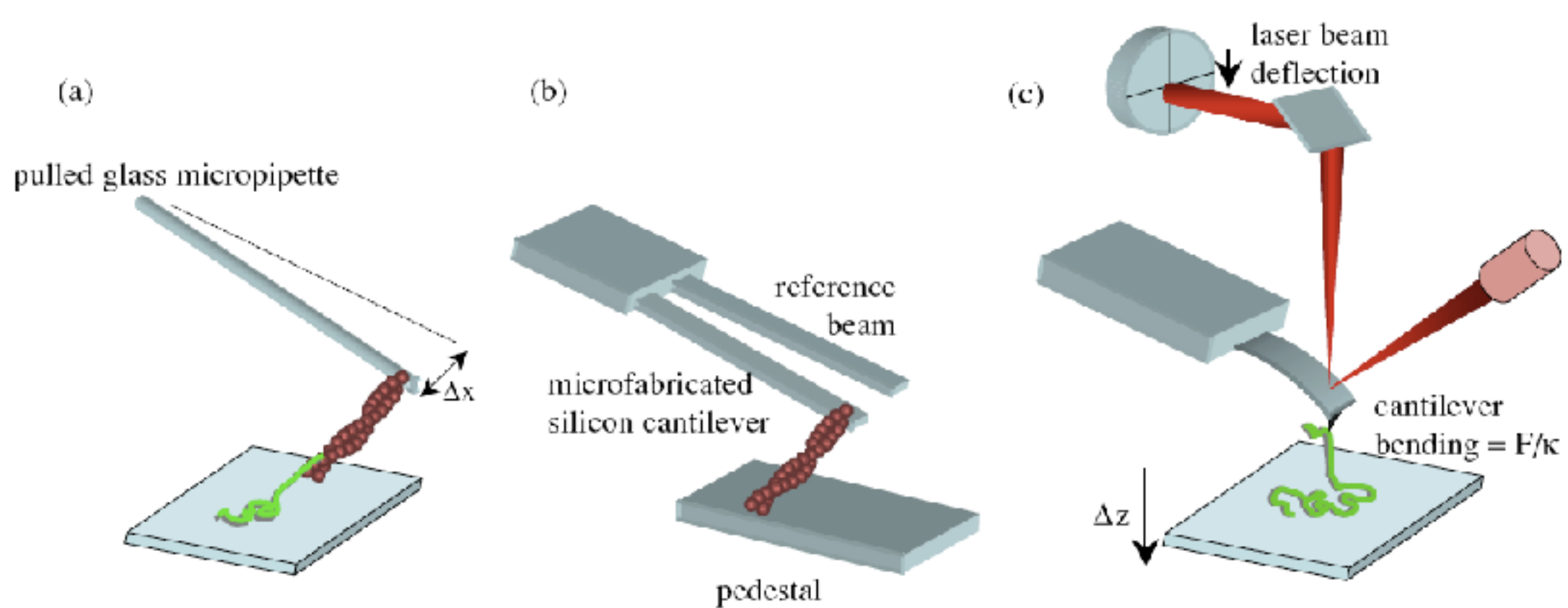


Gough-Joule effektus

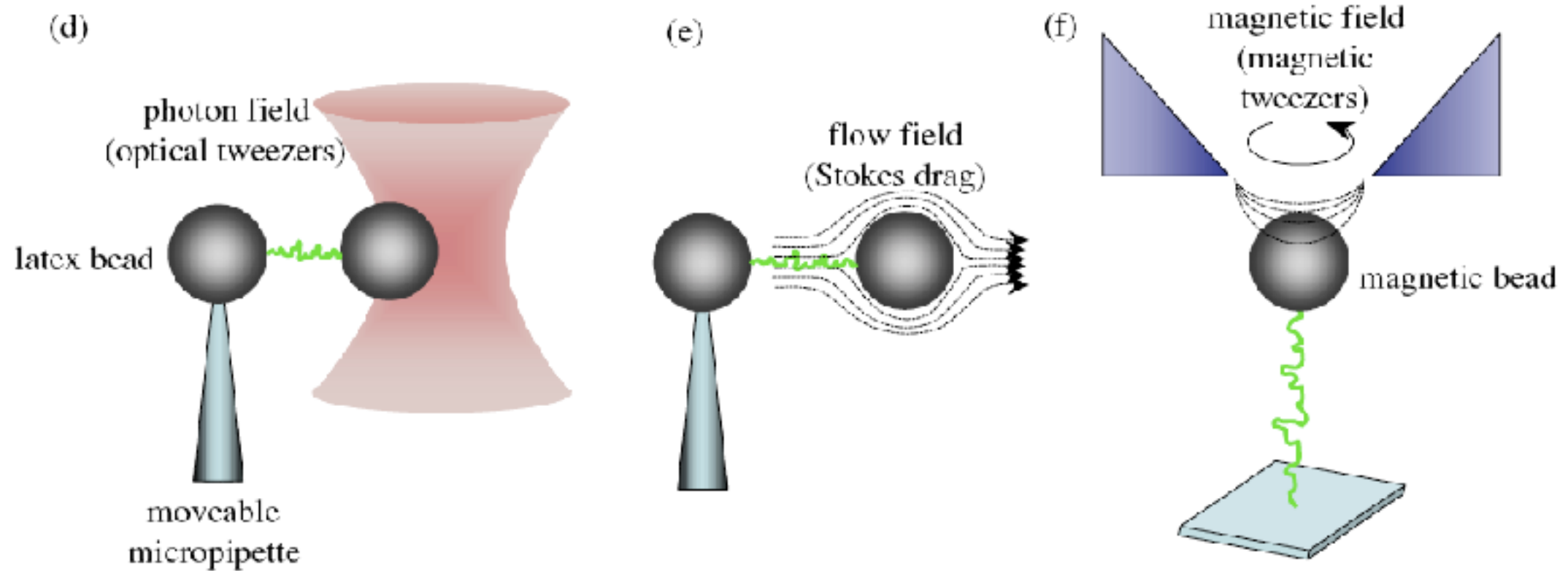


Egyedi molekulák manipulálása

Laprugó módszerek:



Mező alapú módszerek:



Különleges mikroszkóp alkalmazás: lézercsipesz

Einstein:
tömeg-energia
ekvivalencia

$$E = mc^2$$



Louis-Victor-Pierre-Raymond, 7th duc de Broglie (1892-1987)

Planck:
sugárzási
törvény

$$E = hf$$

Maxwell:
fény terjedési
sebessége

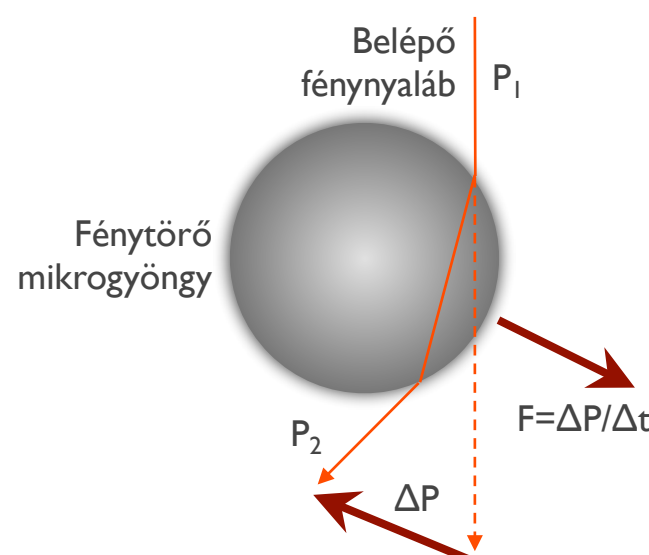
$$c = \lambda f$$

$$mc^2 = h \cdot \frac{c}{\lambda}$$

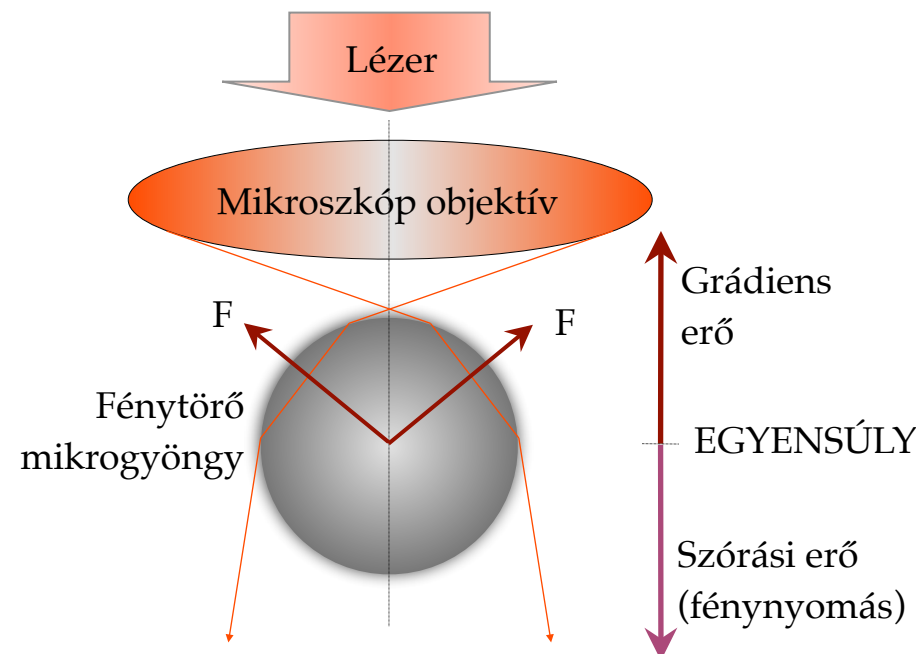
A foton impulzusa:

$$P = \frac{h}{\lambda}$$

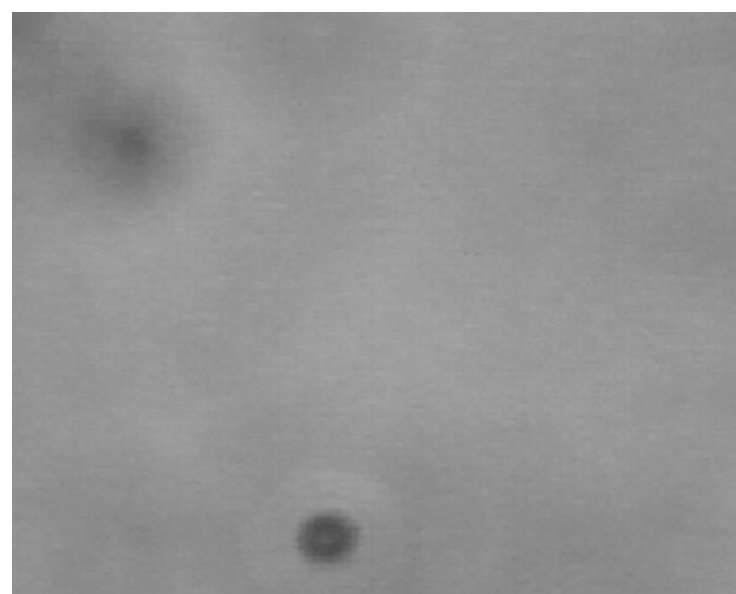
A refrakció fényimpulzus-változással (ΔP) jár:



Fénytörő részecsék "optikai erőkkel" megfoghatók:



Az **optikai csipeszben** a fotonok és a fénytörő részecske között **impulzuscsere** lép fel



3 µm átmérőjű latex (polistirol)
mikrogyöngyök optikai csipeszben

Biomolekula manipulálás fénnnyel



E. coli baktériumsejt



Aktin
filamentum



DNS

Fluoreszcencia kép

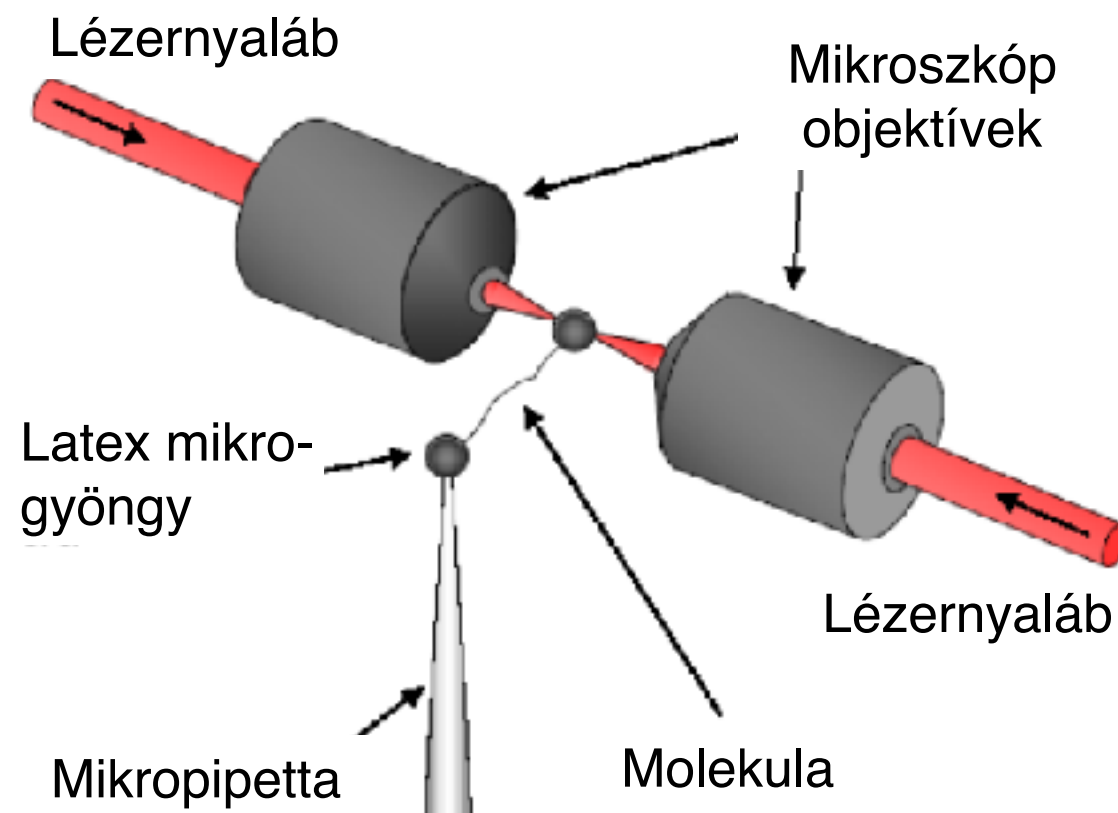
MOLEKULA - FOGANTYÚ GEOMETRIA

mikrogyöngy ~ 1 μm

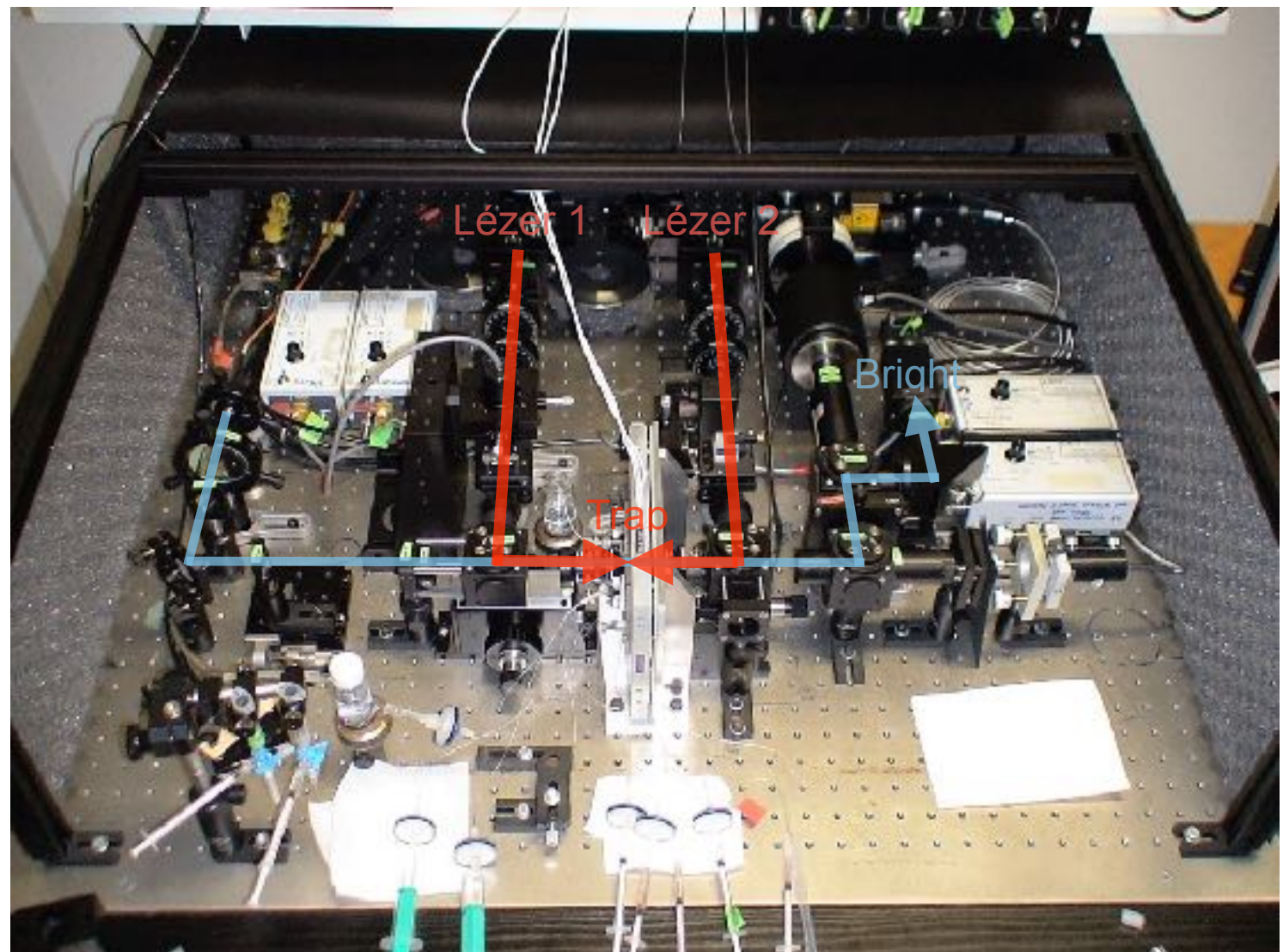


molekula ~ 10 nm

A lézercsipesszel erőt is lehet mérni



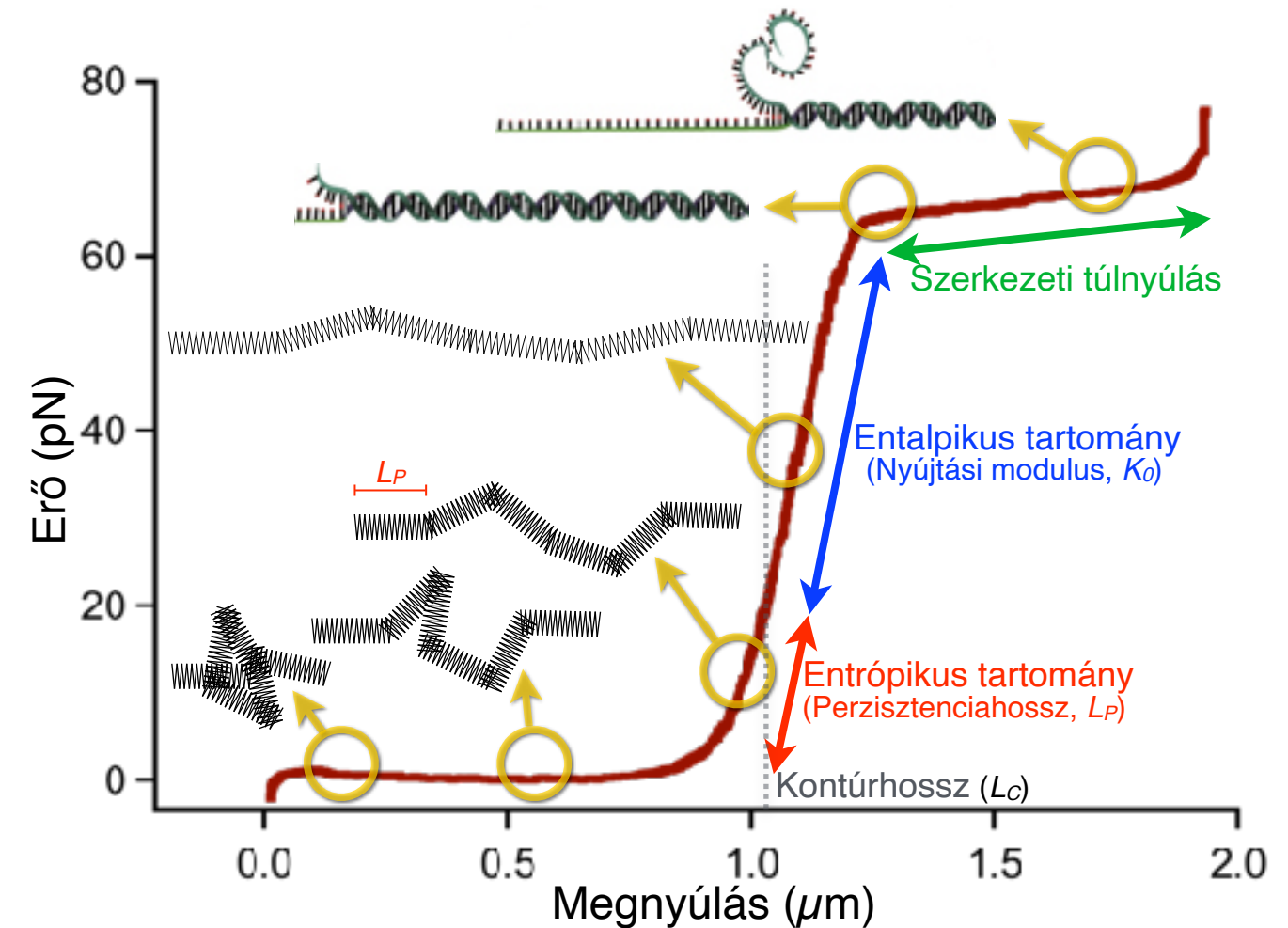
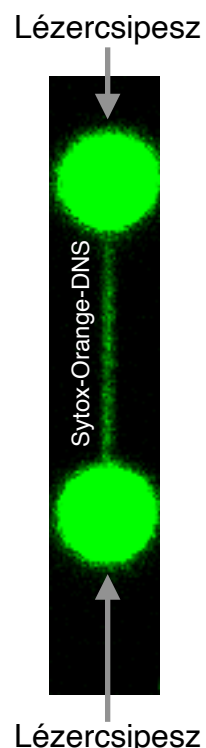
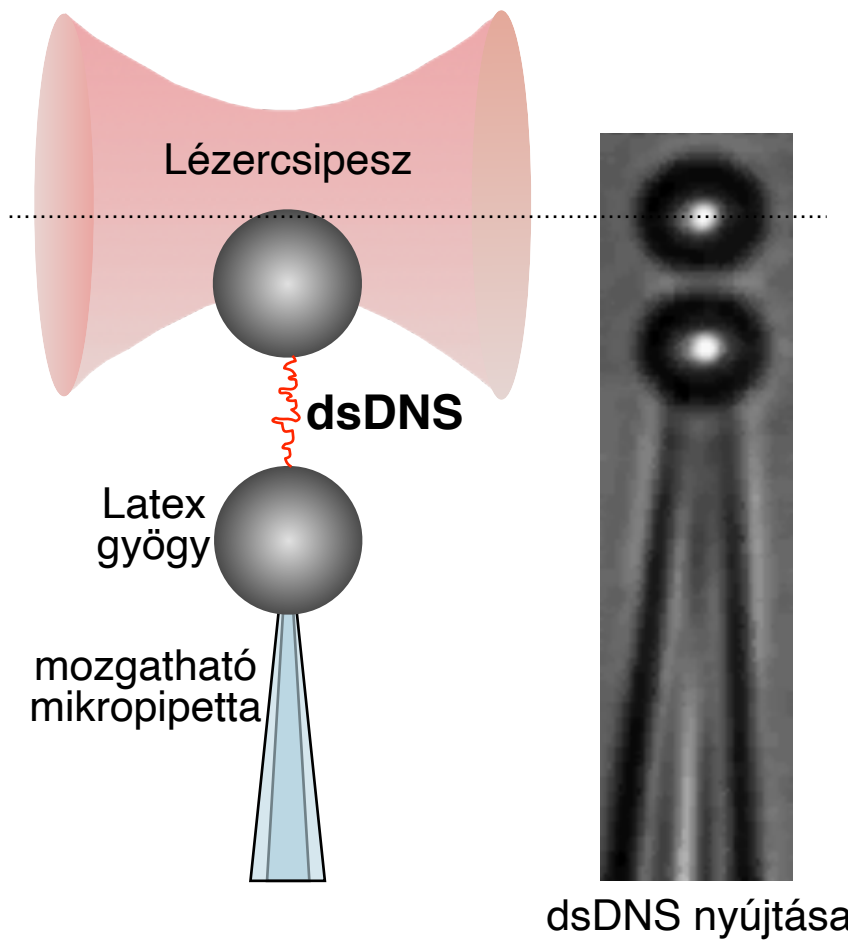
Két lézersugaras optikai csipesz berendezés



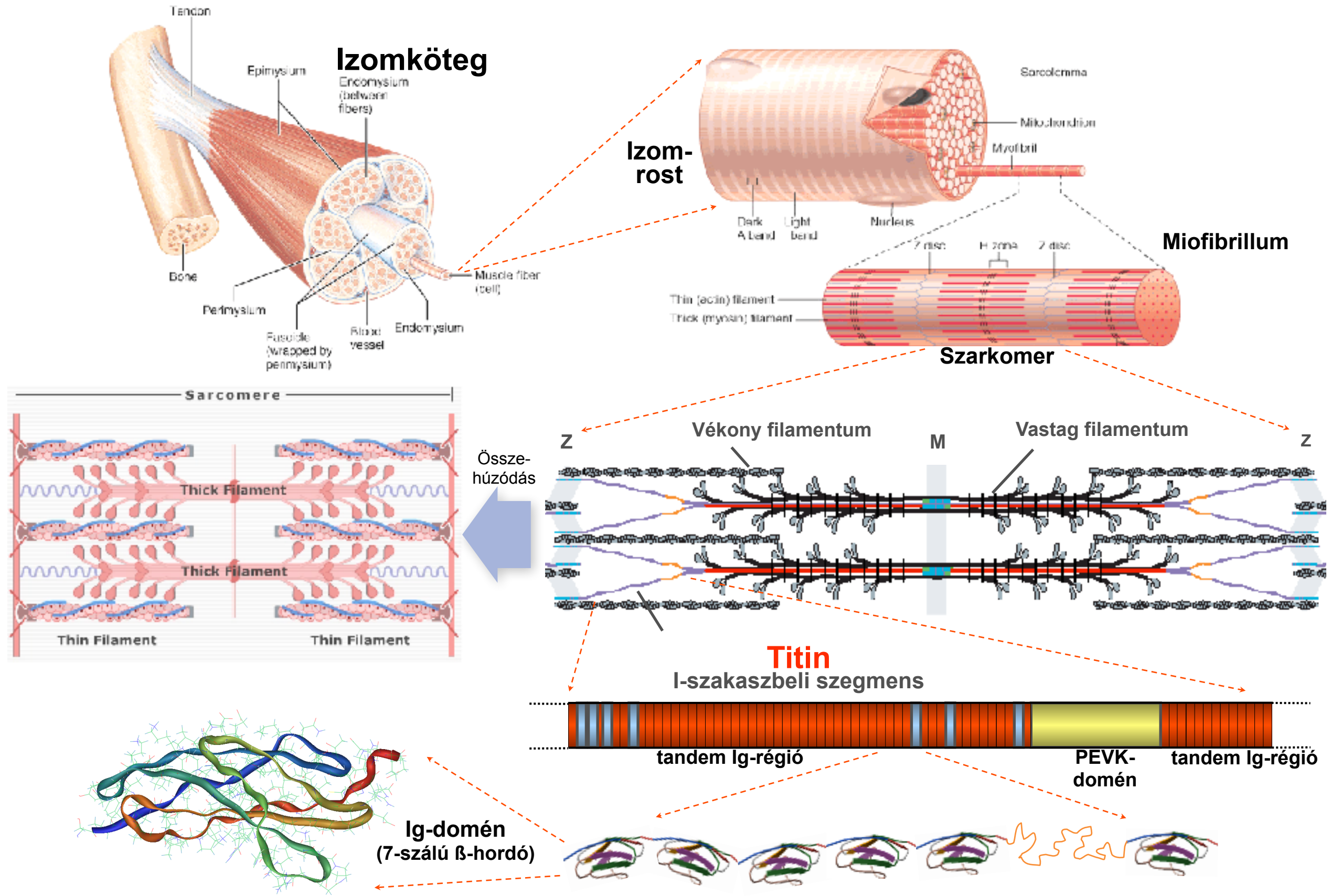
Erőkalibráció

- Fényimpulzus-változás közvetlen megmérése
- Ismert erővel való kalibrálás (Stokes erő)
- Ekvipartíció tétele

dsDNA mechanikai túlnyújtása

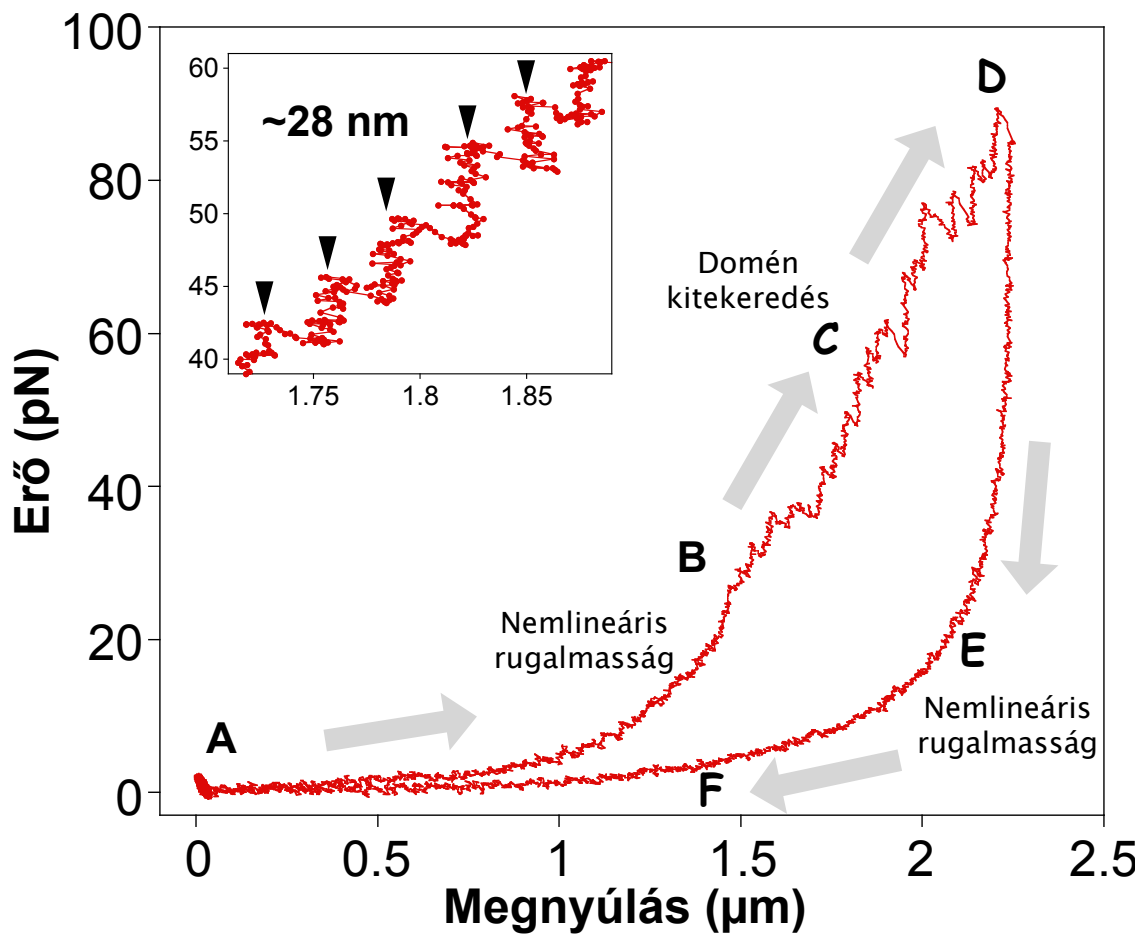


Titin: rugalmas molekuláris “gyöngyfüzér”



Titinmolekula nanomechanikája lézercsipesszel

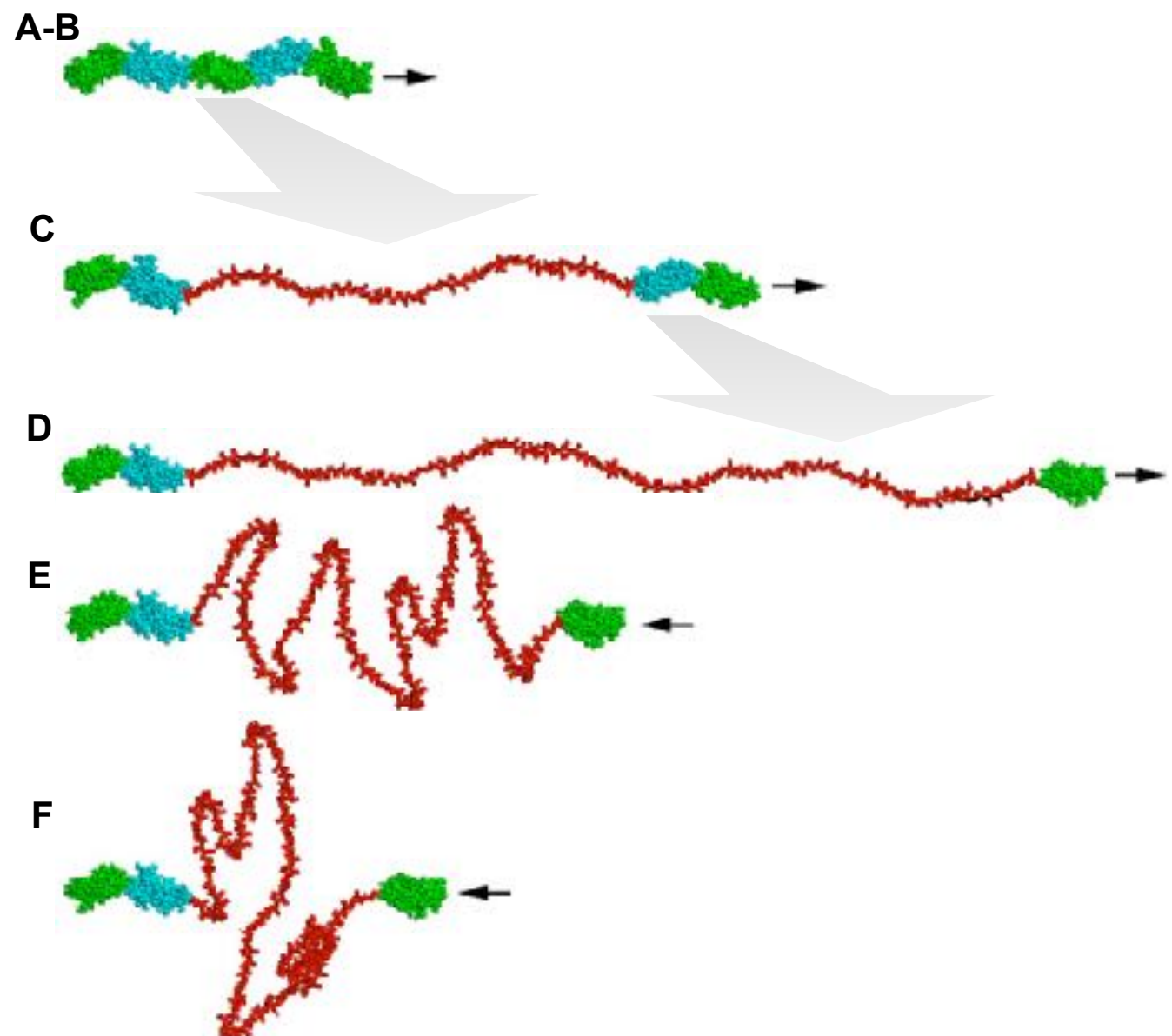
Erőválasz



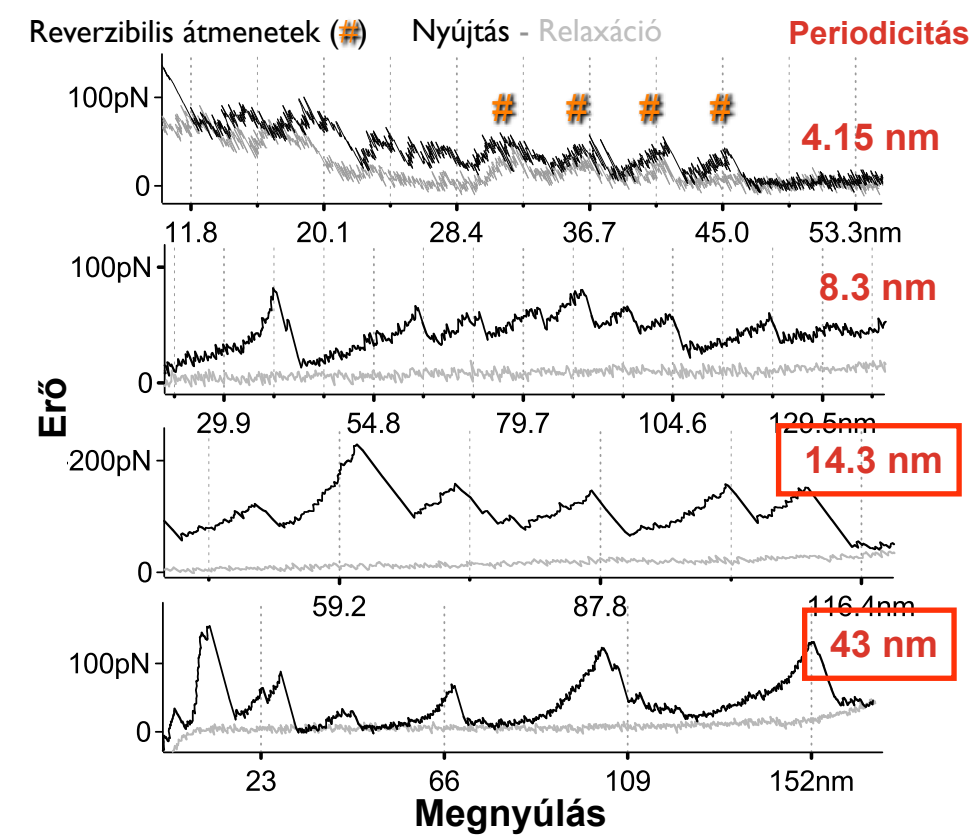
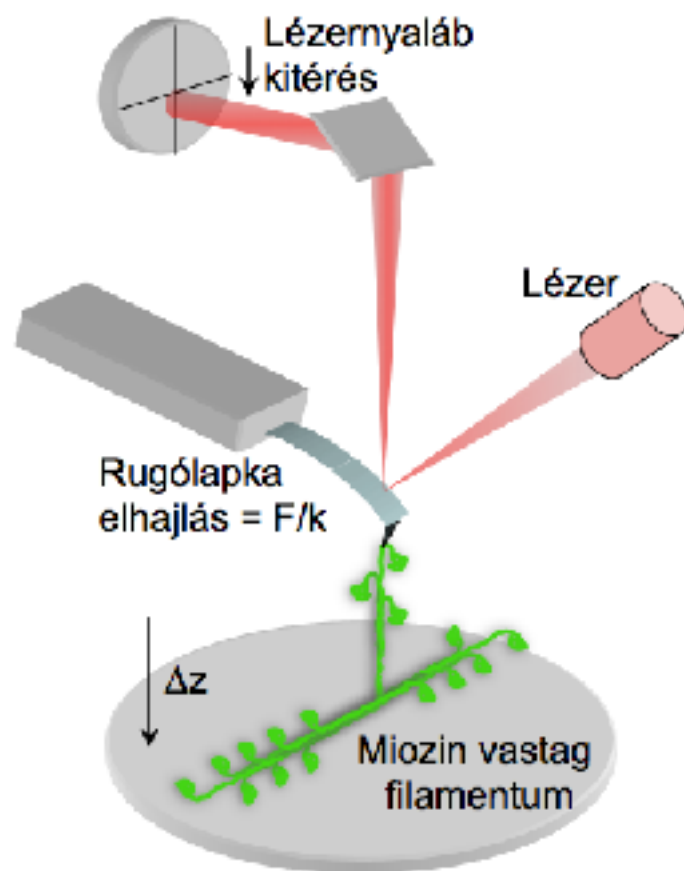
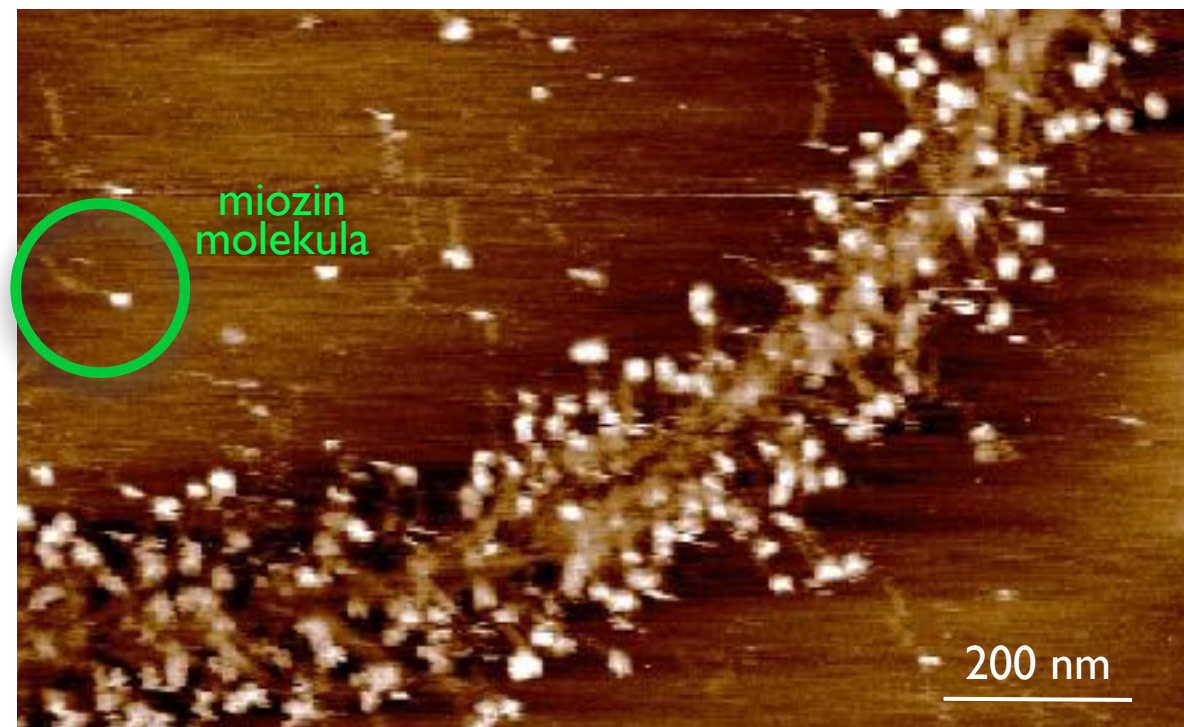
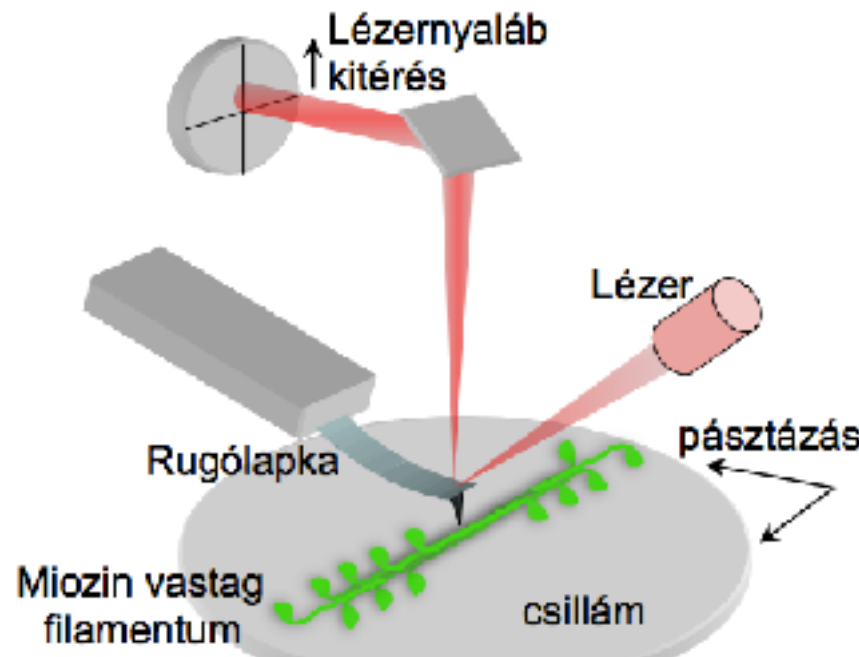
A domének egymás után, a mechanikai stabilitásuk növekvő sorrendjében tekerednek ki.

Erővezérelt szerkezetváltozások:

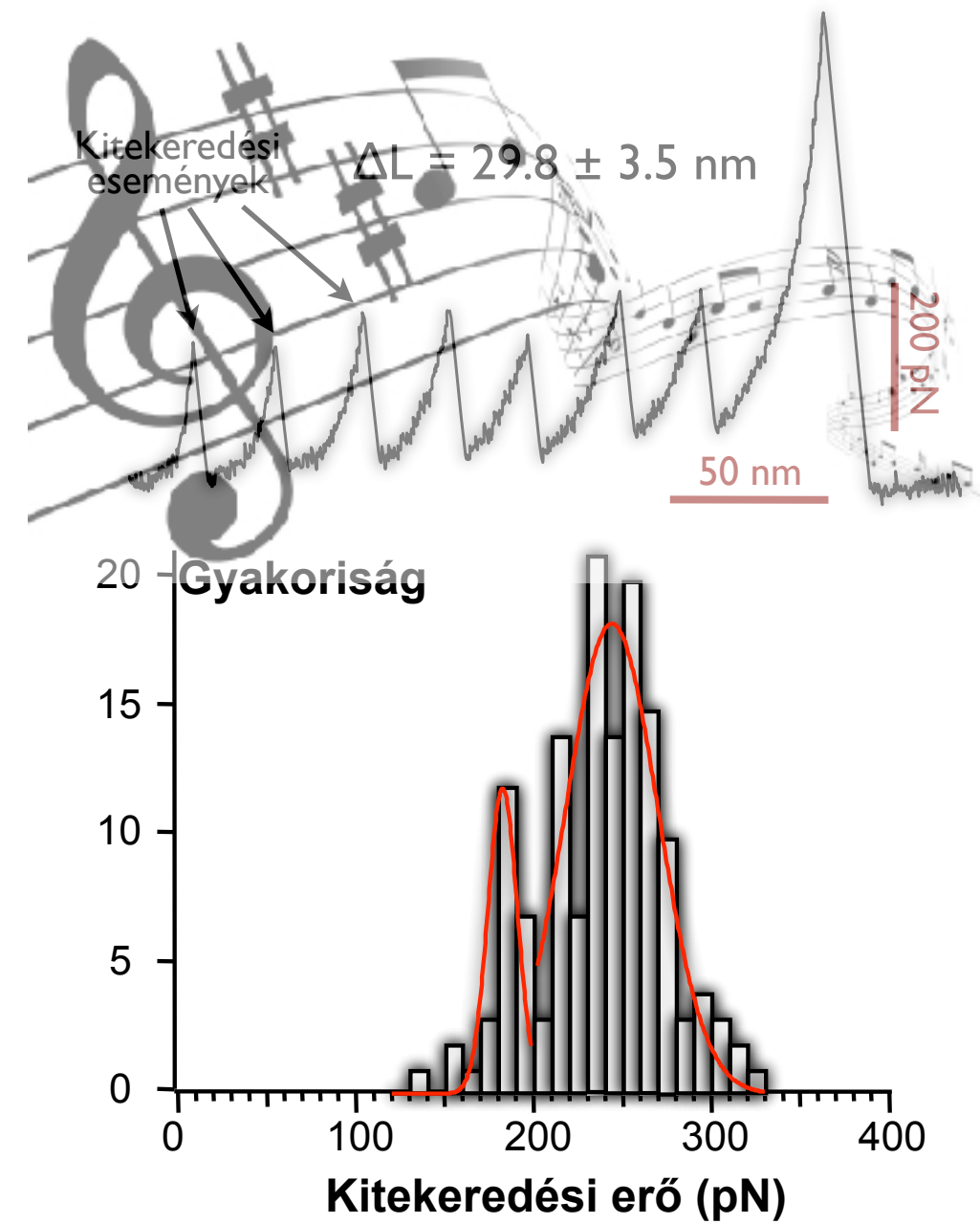
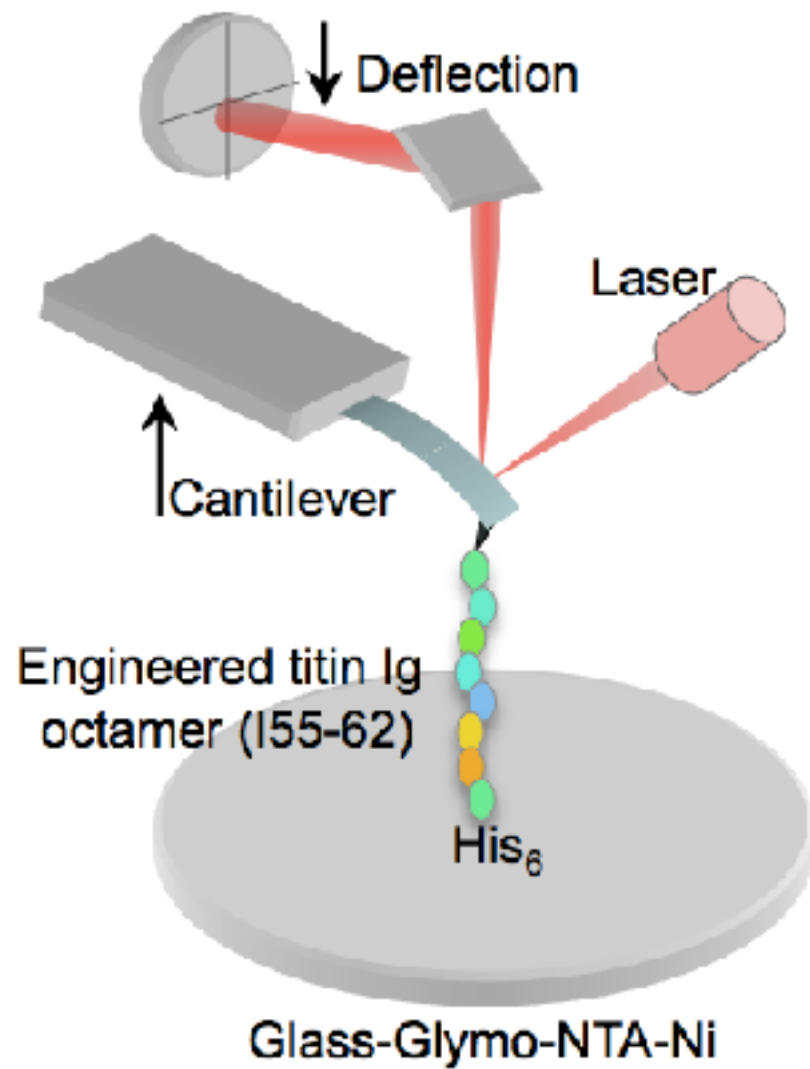
Nemlineáris rugalmasságra szuperponált domén kitekeredés



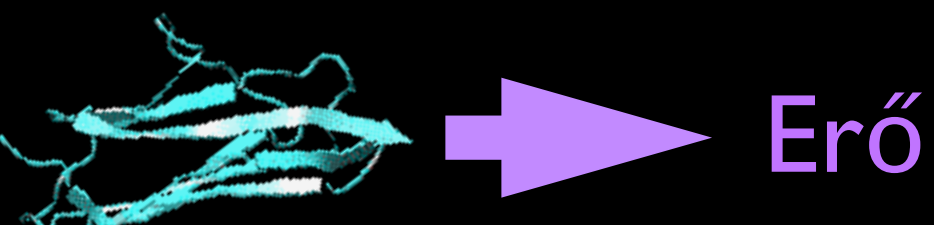
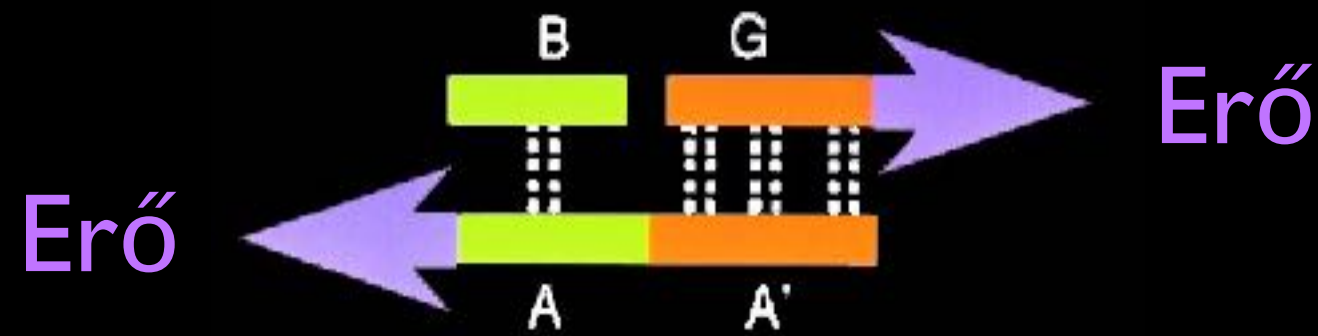
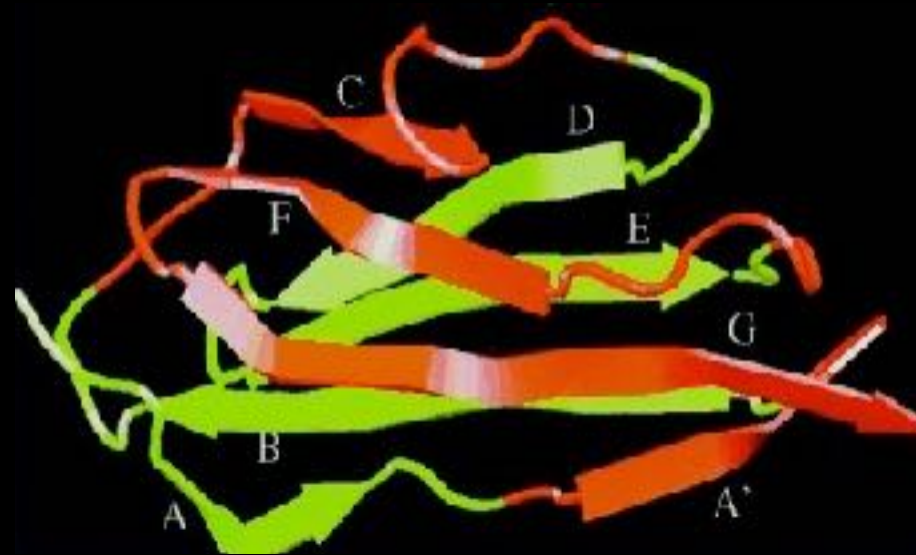
Molekulamaniplálás AFM-mel



Rekombináns titin fragmentum (Titin I55-62) nanomechanikája

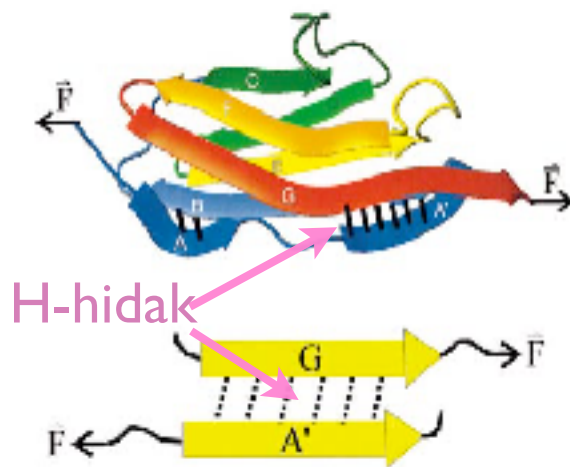


A titin doméneket párhuzamosan csatolt H-hidak stabilizálják

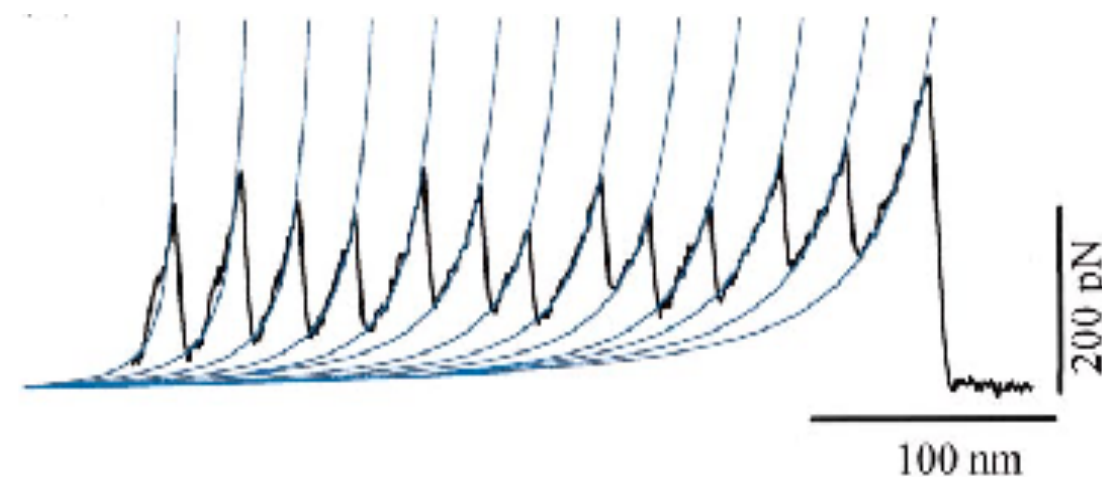


A mechanikai stabilitás biológiai logikája

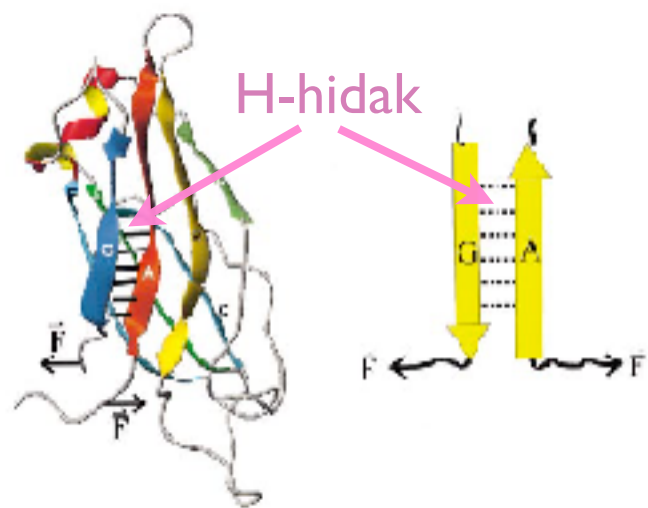
Szerkezetet összetartó H-hidak párhuzamos csatolása



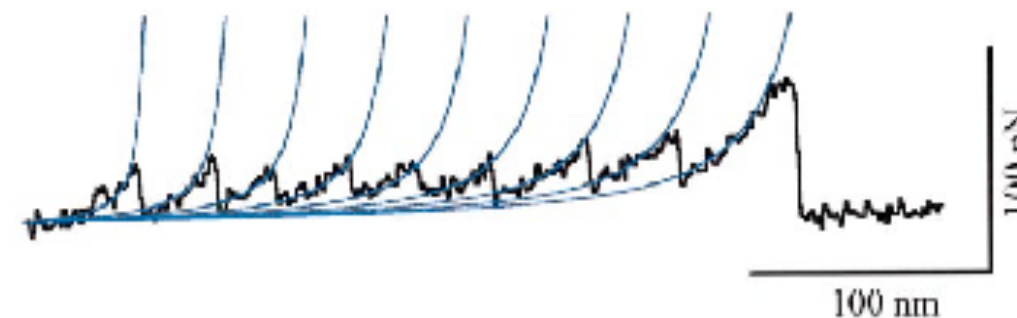
Nagy kitereredési erő



Szerkezetet összetartó H-hidak soros csatolása



Alacsony kitereredési erő

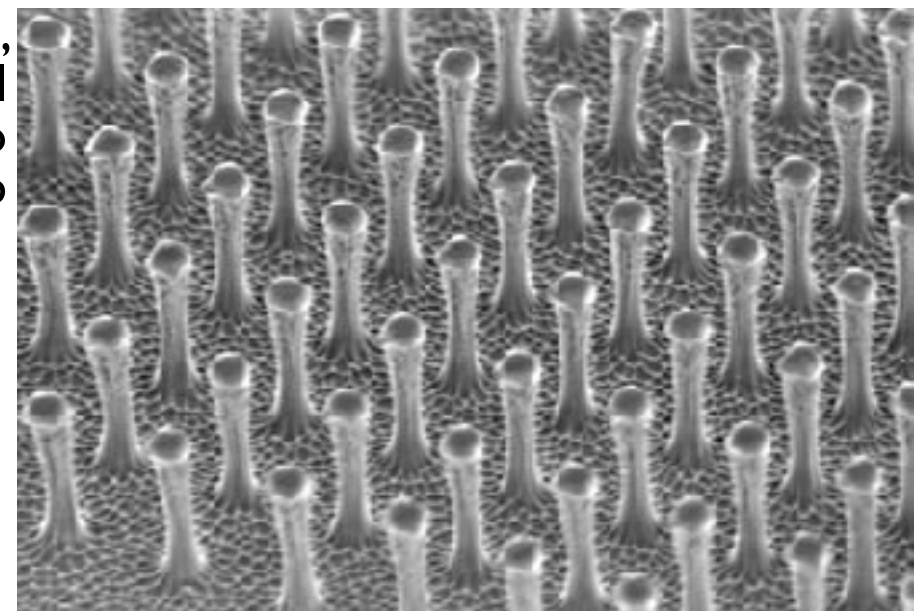


Makroszkópikus mechanikai stabilitás

Effektív ragasztóanyag a párhuzamos csatolás elvén



Mesterséges,
nanotechnológiával
készített gecko
talp



Gecko talp felületi
tapadása:
Párhuzamosan
csatolt Van der
Waals kötések a
serték és a felület
között

